

PÁGINA 1 DE 81

F-DC-125

INFORME FINAL DE TRABAJO DE GRADO EN MODALIDAD DE PROYECTO DE INVESTIGACIÓN, DESARROLLO TECNOLÓGICO, MONOGRAFÍA, EMPRENDIMIENTO Y SEMINARIO

VERSIÓN: 2.0



Diseño de un modelo de Flujos de Agua Superficial en Microcuencas del Páramo de Berlín Usando MDE para Evaluación Hidrológica en 2025

Modalidad: Proyecto de investigación

Maira Alejandra Buelvas Orozco CC. 1007900843

Omar Fernando Diaz Rincón CC. 1102391418

UNIDADES TECNOLÓGICAS DE SANTANDER Facultad de ciencias naturales e ingenierías Ingeniería en Topografía Bucaramanga (25-09-2025)



PÁGINA 2 DE 81

F-DC-125

INFORME FINAL DE TRABAJO DE GRADO EN MODALIDAD DE PROYECTO DE INVESTIGACIÓN, DESARROLLO TECNOLÓGICO, MONOGRAFÍA, EMPRENDIMIENTO Y SEMINARIO

VERSIÓN: 2.0



Diseño de un modelo de Flujos de Agua Superficial en Microcuencas del Páramo de Berlín Usando MDE para Evaluación Hidrológica en 2025.

Proyecto de Investigación

Maira Alejandra Buelvas Orozco CC. 1007900843 Omar Fernando Diaz Rincón CC. 1102391418

Trabajo de Grado para optar al título de Ingeniero Topógrafo

DIRECTOR

M.SC Clara Inés Torres Vásquez

GRIMAT

UNIDADES TECNOLÓGICAS DE SANTANDER Facultad de Ciencias Naturales e ingenierías ingeniería en Topografía Bucaramanga 25-09-2025



PÁGINA 3 DE 81

F-DC-125

INFORME FINAL DE TRABAJO DE GRADO EN MODALIDAD DE PROYECTO DE INVESTIGACIÓN, DESARROLLO TECNOLÓGICO, MONOGRAFÍA, EMPRENDIMIENTO Y SEMINARIO

VERSIÓN: 2.0

Nota de Aceptación

Aprobado en cumplimiento de los requisitos exigidos por Las Unidades Tecnológicas de Santander para optar al título de Ingeniero Topógrafo Según acta #26 del Comité de Proyectos de Grado Del 03-10-2025

Docente evaluador: M.Sc Héctor Alfonso Correa Rangel Docente directora: M.Sc Clara Inés Torres Vásquez

> M.Sc Héctor Alfonso Correa Rangel Firma del Evaluador

> > M.Sc Clara Inés Torres Vásquez Firma del Director



PÁGINA 4 DE 81

F-DC-125

INFORME FINAL DE TRABAJO DE GRADO EN MODALIDAD DE PROYECTO DE INVESTIGACIÓN, DESARROLLO TECNOLÓGICO, MONOGRAFÍA, EMPRENDIMIENTO Y SEMINARIO

VERSIÓN: 2.0

DEDICATORIA

Dedicamos este proyecto a nuestras familias, que con amor, paciencia y esfuerzo nos acompañaron en cada paso de este camino académico. A nuestros padres, que con su ejemplo nos enseñaron a perseverar, a trabajar con disciplina y a creer que todo esfuerzo tiene su recompensa; este logro también es suyo, pues refleja el apoyo incondicional que siempre nos brindaron. Extendemos esta dedicatoria a la comunidad de la vereda Ucatá, quienes nos recibieron con generosidad y nos recordaron que detrás de cada dato y cada mapa existe una realidad que depende del agua para vivir. Finalmente, agradecemos a los docentes que nos guiaron y motivaron, sembrando en nosotros no solo conocimiento, sino también un compromiso profundo con la conservación de los ecosistemas de alta montaña.





INFORME FINAL DE TRABAJO DE GRADO EN MODALIDAD DE PROYECTO DE INVESTIGACIÓN, DESARROLLO TECNOLÓGICO, MONOGRAFÍA, EMPRENDIMIENTO Y SEMINARIO

VERSIÓN: 2.0

PÁGINA 5

DE 81

TABLA DE CONTENIDO

RESU	JMEN EJECUTIVO	8
<u>INTR</u>	ODUCCIÓN	9
<u>1.</u>	DESCRIPCIÓN DEL TRABAJO DE INVESTIGACIÓN	10
1.1. 1.2.	PLANTEAMIENTO DEL PROBLEMAJUSTIFICACIÓN	
1.2.	OBJETIVOS	
1.3.1.	OBJETIVO GENERAL	13
1.3.2.		
1.4.	ESTADO DEL ARTE	14
<u>2.</u>	MARCO REFERENCIAL	24
2.1.	Marco Teórico	
2.2.	MARCO CONCEPTUAL	
2.3.	MARCO AMBIENTAL	29
2.4.		
<u>3.</u>	DISEÑO DE LA INVESTIGACIÓN	32
<u>4.</u>	DESARROLLO DEL TRABAJO DE GRADO	34
<u>5.</u>	RESULTADOS	54
<u>6.</u>	CONCLUSIONES	74
<u>7.</u>	RECOMENDACIONES	76
<u>8.</u>	REFERENCIAS BIBLIOGRÁFICAS	78





INFORME FINAL DE TRABAJO DE GRADO EN MODALIDAD DE PROYECTO DE INVESTIGACIÓN, DESARROLLO TECNOLÓGICO, MONOGRAFÍA, EMPRENDIMIENTO Y SEMINARIO

VERSIÓN: 2.0

PÁGINA 6

DE 81

LISTA DE FIGURAS

Figura 1. I abla de Fases	33
Figura 2. Mapa de Localización	34
Figura 3. Mapa de Sombras	
Figura 4. Mapa de Pendientes	
Figura 5. Clasificación de Coberturas	37
Figura 6. Mapa de climas sobre Zona de Estudio	
Figura 7. Mapa de Zona de Estudio con red Hidrográfica	39
Figura 8. Recorrido Completo, Pr Inicial, Punto De Encuentro, Puntos De V	√uelos
Figura 9. Localizaciones De Vuelos	
Figura 10. Punto De Control Del Vuelo #1	43
Figura 11. Evidencia Fotográfica del Recorrido	
Figura 12. PR de vuelo inicial	
Figura 13. Punto De Control Del Vuelo #2	46
Figura 14. Punto de Control pc	47
Figura 15. Localización Del Vuelo #2	48
Figura 16. Mojón #1	
Figura 17. Mojón #2	49
Figura 18. Base meteorológica del IDEAM registrada en el vuelo numero 2	50
Figura 19. Punto De Control Del Vuelo #3	
Figura 20. Localización del vuelo #3	53
Figura 21. Puntos de localización del vuelo #1	59
Figura 22. Ortofoto Del Vuelo #1	
Figura 23. Puntos de localización del vuelo #2	62
Figura 24. Ortofoto Del Vuelo #2	
Figura 25. Ortofoto Del Vuelo #3	65
Figura 26. Mapa de pendientes	67
Figura 27. Modelo De Flujos De Agua Superficial A Través De Un Dem	69
Figura 28. DEM de Alos Palsar a 12,5 m de resolución espacial	69
Figura 29. Toma de Gota de Aguan en el Terreno	70
Figura 30. Modelo Ráster a Vectorial	
Figura 31. Salida Grafica composición Final	72



PÁGINA 7 DE 81

F-DC-125

INFORME FINAL DE TRABAJO DE GRADO EN MODALIDAD DE PROYECTO DE INVESTIGACIÓN, DESARROLLO TECNOLÓGICO, MONOGRAFÍA, EMPRENDIMIENTO Y SEMINARIO

VERSIÓN: 2.0

LISTA DE TABLAS

Tabla 1	Información de Cuencas o Microcuencas	.14
Tabla 2	Régimen mensual de precipitación y heladas (promedios históricos)	.56
	Coordenadas Tomadas en Campo	



F-DC-125

INFORME FINAL DE TRABAJO DE GRADO EN MODALIDAD DE PROYECTO DE INVESTIGACIÓN, DESARROLLO TECNOLÓGICO, MONOGRAFÍA, EMPRENDIMIENTO Y SEMINARIO

VERSIÓN: 2.0

PÁGINA 8

DE 81

RESUMEN EJECUTIVO

El presente proyecto de investigación tuvo como propósito la generación de modelos de flujo de agua superficial del río Jordán en la vereda Ucatá, Páramo de Berlín, Santander, con el fin de comprender la dinámica hídrica y los factores que inciden en su regulación. Para ello se plantearon objetivos orientados a identificar coberturas del suelo, analizar las condiciones climáticas y evaluar la influencia de la topografía sobre el comportamiento de la escorrentía.

La metodología se fundamentó en un enfoque mixto que combinó trabajo de campo y análisis cartográfico. Se realizaron vuelos fotogramétricos con dron y levantamientos GNSS de alta precisión, lo que permitió generar ortofotos y modelos digitales de elevación con un alto nivel de detalle. Adicionalmente, se recopilaron registros climatológicos de la estación Berlín del IDEAM y se integraron en un sistema de información geográfica (SIG) para la elaboración de mapas temáticos de clima, pendientes y coberturas. Estas herramientas facilitaron un análisis comparativo entre las condiciones naturales y las zonas de intervención antrópica.

Los resultados evidenciaron la existencia de áreas con alta capacidad de recarga hídrica, ubicadas principalmente en sectores de pendientes suaves y con coberturas de frailejones y humedales. Por el contrario, las zonas con pendientes pronunciadas y presencia de cultivos mostraron mayor susceptibilidad a la escorrentía y procesos erosivos. La integración de ortofotos, datos GNSS y registros del IDEAM permitió validar los modelos generados, garantizando su confiabilidad.

La investigación confirma que el páramo de Berlín es un ecosistema estratégico en la regulación del agua, no solo por su capacidad de almacenamiento, sino también por el papel fundamental de la vegetación en la sostenibilidad hídrica. Se destaca la necesidad de implementar medidas de conservación, mejorar la planificación de vuelos con dron en condiciones climáticas adversas y fortalecer el monitoreo hidrológico mediante la articulación de instituciones, comunidad y academia.

PALABRAS CLAVE. SIG (Sistemas de Información geográfica), Hidrología, Páramo, Flujo Superficial.





INFORME FINAL DE TRABAJO DE GRADO EN MODALIDAD DE PROYECTO DE INVESTIGACIÓN, DESARROLLO TECNOLÓGICO, MONOGRAFÍA, EMPRENDIMIENTO Y SEMINARIO

VERSIÓN: 2.0

PÁGINA 9

DE 81

INTRODUCCIÓN

El páramo de Berlín, ubicado en el oriente colombiano, representa un ecosistema estratégico para la regulación del recurso hídrico en los departamentos de Santander y Norte de Santander. Su compleja topografía y variabilidad climática influyen directamente en la dinámica de los flujos de agua superficial, cuya comprensión resulta esencial para garantizar una gestión ambiental adecuada y sostenible. Sin embargo, la escasa aplicación de herramientas tecnológicas avanzadas, como los Modelos Digitales de Elevación (MDE) y los Sistemas de Información Geográfica (SIG), ha limitado el desarrollo de estudios detallados sobre las microcuencas que componen este ecosistema.

En este contexto, el presente proyecto de investigación propone el diseño de un modelo hidrológico que permita analizar y simular los flujos de agua superficial en las microcuencas del páramo de Berlín. A partir del procesamiento de datos topográficos y el uso de herramientas digitales, se busca evaluar la relación entre la morfometría del terreno y la escorrentía, con el fin de generar información clave que contribuya a la planificación territorial, la conservación del ecosistema y la mitigación de riesgos asociados al cambio climático. Esta propuesta, además de aportar al conocimiento técnico y científico sobre el comportamiento hidrológico del páramo, pretende convertirse en una herramienta de apoyo para la toma de decisiones en la gestión del recurso hídrico en zonas de alta montaña.



F-DC-125

INFORME FINAL DE TRABAJO DE GRADO EN MODALIDAD DE PROYECTO DE INVESTIGACIÓN, DESARROLLO TECNOLÓGICO, MONOGRAFÍA, EMPRENDIMIENTO Y SEMINARIO

VERSIÓN: 2.0

PÁGINA 10

DE 81

1. DESCRIPCIÓN DEL TRABAJO DE INVESTIGACIÓN

1.1. PLANTEAMIENTO DEL PROBLEMA

El páramo de Berlín es un ecosistema clave en la regulación del recurso hídrico,

pero su dinámica de flujo superficial aún no ha sido plenamente comprendida;

debido a la complejidad de sus características topográficas y climáticas la

variabilidad en la escorrentía influenciada por la morfometría del terreno y los

cambios en la cobertura vegetal dificulta la evaluación de los patrones hídricos lo

que es puede afectar la planificación y gestión del agua en la región (Corporación

Autónoma Regional para la Defensa de la Meseta de Bucaramanga[CDMB]2016).

Si bien los modelos digitales (MDE), representan una herramienta clave para el

análisis hidrológico, su aplicación en la modelación de flujos de agua en

microcuencas de páramo ha sido limitada esta carencia limita la capacidad de

interpretar y predecir la respuesta hidrológica ante variaciones ambientales y

climáticas lo que impide el desarrollo de estrategias eficaces para la conservación

del ecosistema y el uso sostenible del agua (Corporación Autónoma Regional de la

Frontera Nororiental[Corponor]2008).

Es necesario diseñar y evaluar un modelo que permita analizar y sintetizar la

relación entre la morfometría del terreno y la dinámica del flujo de agua superficial

en microcuencas del páramo de Berlín. Este estudio busca generar conocimiento

aplicado fundamentado en herramientas de modelación hidrológica que contribuya

a la toma de decisiones en la gestión del recurso hídrico y la conservación de estos

ecosistemas estratégicos como aporte a la gestión territorial.





INFORME FINAL DE TRABAJO DE GRADO EN MODALIDAD DE PROYECTO DE INVESTIGACIÓN, DESARROLLO TECNOLÓGICO, MONOGRAFÍA, **EMPRENDIMIENTO Y SEMINARIO**

VERSIÓN: 2.0

¿Cómo se puede modelar los flujos de agua superficial en las microcuencas del páramo de Berlín utilizando Modelos Digitales de Elevación (MDE), y herramientas de SIG para analizar su dinámica hidrológica y su relación con la geomorfología del terreno?



F-DC-125

INFORME FINAL DE TRABAJO DE GRADO EN MODALIDAD DE PROYECTO DE INVESTIGACIÓN, DESARROLLO TECNOLÓGICO, MONOGRAFÍA, EMPRENDIMIENTO Y SEMINARIO

VERSIÓN: 2.0

APROBADO POR: Líder del Sistema Integrado de Gestión

FECHA APROBACIÓN: Octubre de 2023

PÁGINA 12

DE 81

1.2. JUSTIFICACIÓN

El páramo de Berlín es una fuente importante de agua para Santander y Norte de Santander, pero enfrenta amenazas como el cambio climático, la expansión agropecuaria y la degradación ambiental. Estos factores afectan la dinámica hidrológica de sus microcuencas, poniendo en riesgo la disponibilidad del recurso hídrico (Corponor,2008, IDEAM,2019).

La modelación de flujos de agua superficial mediante Modelos Digitales de Elevación (MDE) permite analizar la distribución y el comportamiento del agua en el territorio, facilitando la delimitación de cuencas, la identificación de redes de drenaje y la evaluación de la escorrentía. Este enfoque, apoyado en Sistemas de Información Geográfica (SIG), ofrece una alternativa eficiente y de bajo costo para el estudio hidrológico en zonas de alta montaña (Álvarez, 2021)

Este estudio contribuyó al conocimiento sobre la hidrología del páramo de Berlín y proporcionará información clave para la gestión del recurso hídrico. Además, permitirá identificar áreas críticas y formular estrategias de conservación y manejo sostenible, ayudando a garantizar la seguridad hídrica de las comunidades que dependen de este ecosistema y como aporte a la gestión territorial y a la gestión del riesgo de este municipio, especialmente en cuanto a cambio climático se refiere.

Unidades De maligical de Santande

F-DC-125

INFORME FINAL DE TRABAJO DE GRADO EN MODALIDAD DE PROYECTO DE INVESTIGACIÓN, DESARROLLO TECNOLÓGICO, MONOGRAFÍA, EMPRENDIMIENTO Y SEMINARIO

VERSIÓN: 2.0

PÁGINA 13

DE 81

1.3. OBJETIVOS

1.3.1. OBJETIVO GENERAL

Diseñar un modelo de flujos de agua superficial en microcuencas del páramo de

Berlín mediante el uso de un modelo digital de elevación (MDE), para el análisis del

comportamiento hidrológico y su relación con la topografía del terreno.

1.3.2. OBJETIVOS ESPECÍFICOS

Analizar la topografía de las microcuencas del páramo de Berlín a partir del

procesamiento del modelo digital de elevación sintetizando sus principales

parámetros hidrológicos y geomorfológicos para su aplicación en la modelación de

flujos superficiales.

Generar el modelo de las microcuencas del páramo de Berlín, identificando, las

principales fuentes hídricas como aporte a la gestión ambiental y del territorio

mediante el uso de software Gis.

Comprobar si el modelo de flujos de agua funciona de manera adecuada,

comparándolo con información real del campo, para ver si puede ayudar en la toma

de decisiones sobre el uso y cuidado del agua en las microcuencas del páramo de

Berlín.



PÁGINA 14 **DE 81**

F-DC-125

INFORME FINAL DE TRABAJO DE GRADO EN MODALIDAD DE PROYECTO DE INVESTIGACIÓN, DESARROLLO TECNOLÓGICO, MONOGRAFÍA. **EMPRENDIMIENTO Y SEMINARIO**

VERSIÓN: 2.0

RELACIÓN

1.4. ESTADO DEL ARTE

Tabla 1 Información de Cuencas o Microcuencas

AUTOR

Borbor

Mercy,

Cordova,

directora

TITULO Modelación hídrica Díaz una cuenca para establecimiento de sistema de un alerta temprana ante inundaciones usando fuentes de información local v sensores remotos. Caso de estudio Salima, provincia **Esmeraldas**

Díaz Yaguachi, N. G., & Borbor Cordova, M. Yaguachi, (2020). Modelación el Nelly Gisella hídrica de una cuenca para establecimiento un sistema de alerta temprana ante inundaciones usando numéricas fuentes de sensores remotos. Caso de estudio Salima. provincia Esmeraldas (Doctoral dissertation, ESPOL. FIMCM).

BIBLIOGRAFÍA

Esta investigación busca generar escenarios de inundación en el río el Salima, en Muisne, de Esmeraldas, mediante simulaciones para evaluar áreas información local y vulnerables y el riesgo inundación de periodos de retorno de hasta 25 años. Forma parte de un Sistema de Alerta Temprana y se desarrolló en tres fases: recopilación y procesamiento datos, y modelización hidrológica con software lber. Se utilizaron un modelo de elevación digital y una imagen satelital para caracterizar el definir área ٧ condiciones hidrodinámicas. Los resultados permitieron elaborar mapas inundación е identificar zonas de riesgo por desbordamiento del río.





INFORME FINAL DE TRABAJO DE GRADO EN MODALIDAD DE PROYECTO DE INVESTIGACIÓN, DESARROLLO TECNOLÓGICO, MONOGRAFÍA. EMPRENDIMIENTO Y SEMINARIO

VERSIÓN: 2.0

MODELACIÓN HIDROLÓGICA Ε HIDRÁULICA DEL MANEJO DE LAS **AGUAS PLUVIALES** URBANAS EN LA PARTE ALTA DE SUBCUENCA LA DEL RÍO SAN **JUAN** DE DIOS. **GUADALAJARA**, **JALISCO**

MENDOZA GONZÁLEZ. **ESMERALDA BERENICE**: **ALDANA** ALONSO. **SERGIO ESTEBAN: CASTOLO** RAMIREZ. **CARLOS**

González, E. B. M., Alonso, S. E. A., & Ramírez, C. C. (2017).Modelación hidrológica hidráulica del manejo las aguas pluviales urbanas en la parte alta de la subcuenca del río San Juan de Dios. Guadalajara, Jalisco. Vivienda Comunidades Sustentables, (2), 83-104.

Este estudio compara el comportamiento de las aguas pluviales en la parte alta de la subcuenca del río San Juan de Dios bajo condiciones urbanas actuales ٧ de restauración hidrológica. Utilizando el software SWMM 5.1, se modeló el impacto de una precipitación 72 de mm en cuatro horas. evaluando el efecto de tecnologías LID y la optimización de infraestructura hidráulica. Los resultados indican las que. en condiciones actuales, el vaso regulador El Deán sufre desbordamientos significativos. mientras que en un escenario de restauración hidrológica se mantiene estable. El modelado de la erosión es clave para predecir la pérdida de

ANÁLISIS DEL EN **FACTOR-LS DIFERENTES MODELOS** DE **PREDICCIÓN** DE EROSION HÍDRICA SUELO.

Roffe1 Alvaro Penteado Crósta2 Archimedes **DEL** Perez Filho2

Tatiana Geler Roffe, T. G., Crósta, A. P., & Perez Filho, A. ANÁLISIS DEL FACTOR-LS ΕN **DIFERENTES** MODELOS DE EROSIÓN HÍDRICA SUELO. LS-FACTOR ANALYSIS

suelo У planificar medidas de control. Para ello. PREDICCIÓN DE LA fundamental entender la relación entre la erosión y el manejo de cultivos, considerando





INFORME FINAL DE TRABAJO DE GRADO EN MODALIDAD DE PROYECTO DE INVESTIGACIÓN, DESARROLLO TECNOLÓGICO, MONOGRAFÍA. EMPRENDIMIENTO Y SEMINARIO

VERSIÓN: 2.0

PÁGINA 16

DE 81

IN **DIFFERENT** factores **PREDICTION MODELS** OF WATER EROSION.

como el relieve y la cobertura vegetal. En este SOIL estudio, se analiza la evolución de los modelos de erosión. con énfasis en el factor LS, que representa el impacto de la topografía en el proceso. También se examina el uso de geo tecnologías, como los SIG y la teledetección. en la aplicación de estos modelos. Los resultados destacan transición modelos empíricos a modelos de base física más avanzados gracias al geo tecnologías.

Verificación de Morales aplicabilidad del Salazar. método de curvas numéricas para estimar escorrentía superficial en la microcuenca Zoquiapan, Estado de México.

Sergio

Morales Salazar, S. (2020).Verificación de aplicabilidad del método de curvas numéricas para estimar escorrentía superficial en la microcuenca Zoquiapan, Estado de México (Master's thesis).

Este estudio evalúa los escurrimientos superficiales en la microcuenca Zoquiapan, Estado de México, utilizando el método de curvas numéricas (CN) del Servicio de Conservación de Suelos para predecir el volumen de escurrimiento por Iluvia. Se identificaron Unidades cinco Hidrológicas (UH) en función del suelo y la vegetación, instalando lotes



INFORME FINAL DE TRABAJO DE GRADO EN MODALIDAD DE PROYECTO DE INVESTIGACIÓN, DESARROLLO TECNOLÓGICO, MONOGRAFÍA, EMPRENDIMIENTO Y SEMINARIO

VERSIÓN: 2.0

calibrar las CN. Los resultados mostraron un escurrimiento de 34,831 m³ con un R²

sobrestimación del 1.7

comparación entre el

CN

En

para

la

la

У

un

en

escurrimiento

0.63

desembocadura,

%.

método

DE 81

Modelación Alvarado hidrológica del río García, Torres, San José, Virginia Rica Costa su variación con respecto al cambio climático.

Alvarado García, V. Modelación (2020).hidrológica del río Torres. San José, Costa Rica su variación con

respecto al cambio

climático.

mediciones en canal Parshall modificado arrojó un de R^2 0.71. determinó que el 18 % de la precipitación se convierte escurrimiento superficial. investigación Esta analiza cómo

sistemas hidrológicos de una microcuenca urbana en Costa Rica responden a eventos extremos ٧ variación ante el cambio climático. Para ello, se dividió la microcuenca en tres drenaje áreas de (AD1, AD2 y AD3) y se evaluaron aspectos como morfometría, relieve, red de drenaje, suelo y clima.

ΕI estudio empleó datos históricos de precipitación (1987 -





INFORME FINAL DE TRABAJO DE GRADO EN MODALIDAD DE PROYECTO DE INVESTIGACIÓN, DESARROLLO TECNOLÓGICO, MONOGRAFÍA, EMPRENDIMIENTO Y SEMINARIO

VERSIÓN: 2.0

PÁGINA 18

DE 81

2019) y proyecciones futuras RCP8.5 (2006-2050) para estimar caudales extremos con periodos de retorno de 25, 50 y 100 años. Se usaron registros de seis estaciones meteorológicas del IMN У el ICE. corrigiendo datos incompletos mediante método promedios y la curva doble masa. Finalmente. los análisis hidrológicos se realizaron con los hietogramas de las estaciones Sabana v San Luis, seleccionadas por su representatividad en la distribución de Iluvias.

Diseño hidrológico Hidalgo hidráulico para Ravelo, pequeñas presas cuencas no aforadas, usando modelo de precipitación escurrimiento de Témez, mediante geoprocesamiento SIG У modelamiento numérico. Un enfoque hacia la realidad peruana:

Ravelo, (2019)
Andreé hidrol
Gustavo para
presa
no af
el
precip
escur
Téme
geopi
SIG

Hidalgo Ravelo, A. G. (2019).Diseño hidrológico-hidráulico pequeñas presas en cuencas no aforadas, usando modelo precipitaciónescurrimiento Témez, mediante geoprocesamiento SIG y modelamiento numérico. Un enfoque hacia la realidad peruana:

El estudio desarrolla los aspectos hidrológicos hidráulicos necesarios para diseñar una pequeña presa materiales sueltos en Vilcanchos. de Ayacucho. Dado que no hay información hidrométrica en la zona, se prioriza la selección de un modelo de transformación





INFORME FINAL DE TRABAJO DE GRADO EN MODALIDAD DE PROYECTO DE INVESTIGACIÓN, DESARROLLO TECNOLÓGICO, MONOGRAFÍA, EMPRENDIMIENTO Y SEMINARIO

VERSIÓN: 2.0

PÁGINA 19

DE 81

Caso Vilcanchos, Ayacucho

Caso Vilcanchos, Ayacucho.

hidrológica adecuado.

Se analizan las bases teóricas, incluyendo el modelo precipitaciónescurrimiento Témez, el balance hídrico y la erosión en embalses. Luego, se caracteriza la cuenca Champaccocha, se procesan datos meteorológicos v se modela la presa en BIM y SEEP/W Geostudio. También se evalúa el impacto del represamiento en la demanda agrícola y vulnerabilidad cambio climático con proyecciones al 2030.

Generación de mapa de amenaza para disminuir el impacto de daños ocasionados por flujos hiperconcentrados en la quebrada del Diablo, distrito Alto de la Alianza, haciendo uso de FLO-2D

de Talledo
nza Walde,
el Roberto
nos Alejandro,
Cardoso
Cusihuallpa,
los Sergio
del Ignacio

Talledo Walde, R. A., Cardoso S. Cusihuallpa. (2021).Generación de mapa de amenaza disminuir para el impacto de daños ocasionados por fluios hiperconcentrados en la quebrada del Diablo, distrito Alto de la Alianza, haciendo uso de FLO-2D.

El estudio realiza un modelamiento hidrológico е hidráulico de la quebrada del Diablo en Alto de la Alianza, Tacna, con el objetivo de generar un mapa de amenaza que ayude a reducir el impacto de fluios hiperconcentrados mejorar la planificación urbana.

Se caracterizó la zona con informes e



PÁGINA 20 **DE 81**

INFORME FINAL DE TRABAJO DE GRADO EN MODALIDAD DE PROYECTO DE INVESTIGACIÓN, DESARROLLO TECNOLÓGICO, MONOGRAFÍA, EMPRENDIMIENTO Y SEMINARIO

VERSIÓN: 2.0

imágenes satelitales,

Evaluación de González riesaos Mancillas, inundaciones en la Rigoberto Cuenca Cárdenas-Comalcalco. Tabasco, México

González Mancillas, R. (2010). Evaluación de riesgos а inundaciones en la Cárdenas-Cuenca Comalcalco. Tabasco, México.

además de analizar las precipitaciones en la cabecera de la quebrada. Luego, se utilizó HEC-HMS para estimar caudales máximos en distintos periodos de retorno. Con FLO-2D. modelaron los flujos considerando parámetros reológicos específicos del área. Finalmente, se evaluó el nivel de amenaza con mapas de FLO-Mapper y 2D analizó el impacto de estructuras de mitigación en la reducción del riesgo. La investigación se llevó a cabo en la Cuenca Cárdenas-Comalcalco. una región de 274,255.32 ha que abarca varios municipios es afectada constantemente por Su inundaciones. obietivo fue evaluar la vulnerabilidad percibida en zonas de riesgo mediante el análisis de precipitaciones extremas y el Modelo Digital de Elevación (MDE).





INFORME FINAL DE TRABAJO DE GRADO EN MODALIDAD DE PROYECTO DE INVESTIGACIÓN, DESARROLLO TECNOLÓGICO, MONOGRAFÍA, EMPRENDIMIENTO Y SEMINARIO

DE 81 VERSIÓN: 2.0

PÁGINA 21

Se aplicaron funciones de distribución de probabilidades (FDP) a valores extremos de precipitación, generaron curvas de Intensidad-Duración-Frecuencia (IDF) y mapas de isoyetas con ArcGIS, y calculó el escurrimiento superficial con modelos de Treviño. Además. identificaron zonas de riesgo mediante la detección de depresiones el en MDE v se encuestó a la población mayor de 18 años.

Diagnóstico de información Duque, requerida para el modelamiento hidrológico de la María Camila microcuenca Blanco, por medio del SWAT

Giraldo Manuela López Arcila,

Giraldo Duque, M., & Este estudio analiza la López Arcila, M. C. (2018). Diagnóstico de información requerida para modelamiento hidrológico de la microcuenca Río Blanco, por medio del SWAT.

Microcuenca Río Blanco para garantizar el abastecimiento de agua en Manizales, evaluando procesos hidrológicos mediante el software SWAT. Se desarrolló en tres fases: revisión bibliográfica sobre SWAT, recopilación y adecuación de datos climáticos geológicos de fuentes oficiales, y evaluación de la calidad de la





INFORME FINAL DE TRABAJO DE GRADO EN MODALIDAD DE PROYECTO DE INVESTIGACIÓN, DESARROLLO TECNOLÓGICO, MONOGRAFÍA, EMPRENDIMIENTO Y SEMINARIO

VERSIÓN: 2.0

PÁGINA 22

DE 81

Modelo de Alvarado Inundación para García, las Microcuencas Virginia Hidrológicas La Negreña y La Naranjera en el Municipio del Playón, Santander.

Alvarado García, V. (2020). Modelación hidrológica del río Torres, San José, Costa Rica su variación con

respecto al cambio climático.

información con SIG y Excel. Los modelos hidrológicos ayudan en la gestión del recurso hídrico al predecir factores clave que afectan la cuenca.

Esta investigación cómo analiza sistemas hidrológicos de una microcuenca urbana en Costa Rica responden a eventos extremos ٧ su variación ante el cambio climático. Para ello, se dividió la microcuenca en tres áreas de drenaje (AD1, AD2 y AD3) y evaluaron aspectos como morfometría, relieve, red de drenaje, suelo y clima.

estudio empleó ΕI datos históricos de precipitación (1987-2019) v provecciones futuras RCP8.5 (2006-2050) para estimar caudales extremos periodos con de retorno de 25, 50 v 100 años. Se usaron registros de seis estaciones meteorológicas del ICE. IMN У el corrigiendo datos



PÁGINA 23 DE 81

F-DC-125

INFORME FINAL DE TRABAJO DE GRADO EN MODALIDAD DE PROYECTO DE INVESTIGACIÓN, DESARROLLO TECNOLÓGICO, MONOGRAFÍA, EMPRENDIMIENTO Y SEMINARIO

VERSIÓN: 2.0

incompletos mediante método de promedios y la curva de doble masa. Finalmente, los análisis hidrológicos se realizaron con los hietogramas de las estaciones Sabana y San seleccionadas por su representatividad en distribución de lluvias.

Fuente: Autores (2025).



F-DC-125

INFORME FINAL DE TRABAJO DE GRADO EN MODALIDAD DE PROYECTO DE INVESTIGACIÓN, DESARROLLO TECNOLÓGICO, MONOGRAFÍA, EMPRENDIMIENTO Y SEMINARIO

VERSIÓN: 2.0

PÁGINA 24

DE 81

2. MARCO REFERENCIAL

2.1. Marco Teórico

INTRODUCCIÓN AL ECOSISTEMA DE PÁRAMO

Los páramos son ecosistemas de alta montaña ubicados principalmente en los Andes tropicales (Colombia, Ecuador, Perú y Venezuela), que se destacan por su papel en la regulación hídrica. Funcionan como "esponjas naturales", al captar, almacenar y liberar agua de manera gradual hacia las cuencas hidrográficas (Buytaert et al., 2006). La vegetación del páramo, como los frailejones, pajonales y musgos, facilita la retención del agua de lluvia, lo cual es esencial para los flujos de agua superficial en las microcuencas que nacen en estos ecosistemas.

DINÁMICA DEL FLUJO DE AGUA SUPERFICIAL

El flujo de agua superficial hace referencia al movimiento del agua sobre la superficie terrestre, el cual se origina principalmente por la precipitación que no es infiltrada ni retenida por la vegetación o el suelo. En microcuencas de páramo, este flujo está condicionado por variables como:

- Topografía abrupta,
- Alta porosidad de los suelos orgánicos,
- Cobertura vegetal,
- Presencia de humedales y zonas saturadas.

Según estudios como los de Mosquera et al. (2015), en microcuencas del páramo ecuatoriano, la mayor parte del escurrimiento superficial ocurre en eventos de lluvia intensa, pero es modulada por la capacidad de almacenamiento del suelo. Esto

Uts Unidades De notifique de Santandi

F-DC-125

INFORME FINAL DE TRABAJO DE GRADO EN MODALIDAD DE PROYECTO DE INVESTIGACIÓN, DESARROLLO TECNOLÓGICO, MONOGRAFÍA, EMPRENDIMIENTO Y SEMINARIO

VERSIÓN: 2.0

PÁGINA 25

DE 81

resalta la importancia de un análisis espacial detallado del terreno mediante Modelos Digitales de Elevación (MDE) para estimar trayectorias y acumulación de

flujos.

ESTUDIOS PREVIOS SOBRE MICROCUENCAS EN PÁRAMOS

Varios estudios han analizado la hidrología de microcuencas en páramos andinos

con diferentes enfoques:

Buytaert et al. (2006) realizaron simulaciones hidrológicas en el páramo de

Ecuador, utilizando modelos como el TOPMODEL, identificando que el flujo

subsuperficial representa la mayor parte de la descarga, pero que el

escurrimiento superficial se activa en suelos saturados.

Célleri & Feyen (2009) estudiaron el papel del uso del suelo en el flujo

superficial en microcuencas del páramo del Azuay (Ecuador), mostrando que

la ganadería extensiva y el drenaje artificial modifican la respuesta

hidrológica, generando mayor escorrentía superficial.

Morales et al. (2013) analizaron los flujos superficiales en el páramo de

Santurbán, Colombia, y concluyeron que las alteraciones antrópicas, como

la minería, disminuyen la capacidad de regulación hídrica del ecosistema,

aumentando el riesgo de escorrentías rápidas y erosión.

Rodríguez & Sarmiento (2020) aplicaron herramientas SIG y MDE para

mapear las microcuencas en el páramo de Chingaza, usando índices como

el TWI (Topographic Wetness Index) para identificar zonas de acumulación

de flujo.



F-DC-125

INFORME FINAL DE TRABAJO DE GRADO EN MODALIDAD DE PROYECTO DE INVESTIGACIÓN, DESARROLLO TECNOLÓGICO, MONOGRAFÍA, EMPRENDIMIENTO Y SEMINARIO

VERSIÓN: 2.0

PÁGINA 26

DE 81

APLICACIÓN DE TECNOLOGÍAS GEOESPACIALES

El uso de Modelos Digitales de Elevación (MDE) permite simular rutas de

escurrimiento superficial, determinar líneas de flujo, cuencas de drenaje,

pendientes, acumulación de flujo y áreas propensas a inundación o erosión (Pérez

et al., 2018). Programas como ArcGIS, QGIS y herramientas como TauDEM o HEC-

HMS son ampliamente utilizados en estos estudios.

Según Vázquez et al. (2022), la modelación hidrológica en microcuencas de páramo

debe integrar datos topográficos detallados con parámetros climáticos y de

cobertura vegetal para lograr estimaciones precisas del comportamiento del flujo

superficial.

IMPORTANCIA DE LOS ESTUDIOS HIDROLÓGICOS EN MICROCUENCAS DEL

PÁRAMO

La gestión sostenible del agua depende en gran medida del conocimiento del

comportamiento del flujo superficial en zonas estratégicas como los páramos. Estos

estudios permiten:

Identificar zonas críticas de escorrentía.

Proponer estrategias de conservación.

Evaluar el impacto del cambio climático.

Diseñar intervenciones que restauren la funcionalidad hidrológica de las

microcuencas.

En Colombia, el páramo de Berlín ha sido objeto de estudios por su importancia

como fuente abastecedora de aqua potable y su vulnerabilidad frente a presiones

humanas como la agricultura intensiva y la expansión urbana (IDEAM, 2017).

UTS Uniciades Decembración de Santanda

F-DC-125

INFORME FINAL DE TRABAJO DE GRADO EN MODALIDAD DE PROYECTO DE INVESTIGACIÓN, DESARROLLO TECNOLÓGICO, MONOGRAFÍA, EMPRENDIMIENTO Y SEMINARIO

VERSIÓN: 2.0

PÁGINA 27

DE 81

2.2. Marco Conceptual

Hidrología Superficial

La hidrología superficial es una rama de la hidrología que se encarga del estudio

del agua que se desplaza sobre la superficie terrestre, abarcando procesos como la

precipitación, escorrentía, infiltración y evaporación. Este componente del ciclo

hidrológico es de vital importancia para comprender cómo el agua fluye desde zonas

altas hacia cuerpos de agua como ríos, lagos y embalses.

Geomorfología y Morfometría de Cuencas

La geomorfología estudia las formas del relieve terrestre y los procesos que las

originan, mientras que la morfometría de cuencas se centra en la caracterización

cuantitativa de estas formas mediante indicadores como el área de drenaje, la

densidad de drenaje, la pendiente media, la elongación, entre otros. Estos

parámetros influyen directamente en la generación de escorrentía, en el tiempo de

concentración del agua y en la eficiencia del drenaje natural.

Modelos Digitales de Elevación (MDE)

Los Modelos Digitales de Elevación (MDE) son representaciones tridimensionales

del terreno generadas a partir de datos satelitales, topográficos o LIDAR. En el

ámbito hidrológico, los MDE son herramientas fundamentales para el análisis

espacial del comportamiento del agua, permitiendo identificar la red de drenaje,

delimitar cuencas hidrográficas, calcular pendientes, determinar direcciones y

acumulación de flujo, y simular escenarios hidrológicos diversos.

Sistemas de Información Geográfica (SIG)

Los Sistemas de Información Geográfica son herramientas informáticas que

integran, analizan y representan datos geoespaciales. En hidrología, su aplicación

se ha consolidado como una de las metodologías más efectivas para el análisis de

UTS Unitiades Lechningion de Santande

F-DC-125

INFORME FINAL DE TRABAJO DE GRADO EN MODALIDAD DE PROYECTO DE INVESTIGACIÓN, DESARROLLO TECNOLÓGICO, MONOGRAFÍA, EMPRENDIMIENTO Y SEMINARIO

VERSIÓN: 2.0

PÁGINA 28

DE 81

escorrentía, acumulación de flujos, delimitación de cuencas, simulación de lluvias y

generación de mapas temáticos hidrológicos.

desarrollar modelos predictivos que asisten en la gestión de riesgos, la planificación

urbana y la protección de recursos naturales.

Flujos de agua superficial

El flujo de agua superficial es el movimiento del agua sobre la superficie terrestre,

que se genera cuando las precipitaciones exceden la capacidad de infiltración del

suelo y la retención vegetal. Este proceso está condicionado por factores como la

pendiente, el uso del suelo, la cobertura vegetal y las características del terreno

(Chow et al., 1988). En zonas de páramo, este flujo puede ser regulado

naturalmente por suelos orgánicos saturados y vegetación absorbente como los

frailejones.

Ecosistema de páramo

El páramo es un ecosistema tropical de alta montaña (por encima de los 2.800 m

s.n.m.) caracterizado por su alta humedad, temperaturas frías y nieblas frecuentes.

En Colombia, estos ecosistemas proveen agua a más del 70% de la población. El

páramo de Berlín, localizado en el departamento de Santander, es una fuente

hídrica crítica por su función de regulación del ciclo del agua. Su alteración por

actividades agrícolas, ganaderas o mineras puede afectar directamente los flujos de

agua superficial (IDEAM, 2017).



F-DC-125

INFORME FINAL DE TRABAJO DE GRADO EN MODALIDAD DE PROYECTO DE INVESTIGACIÓN, DESARROLLO TECNOLÓGICO, MONOGRAFÍA, EMPRENDIMIENTO Y SEMINARIO

VERSIÓN: 2.0

PÁGINA 29

DE 81

2.3. Marco Ambiental

POMCA – Plan de Ordenación y Manejo de Cuencas Hidrográficas

El POMCA es un instrumento de planificación ambiental y territorial en Colombia,

diseñado para ordenar y gestionar de forma integral los recursos naturales dentro

de una cuenca hidrográfica. Su objetivo principal es garantizar la sostenibilidad

ambiental, social y económica del territorio a través del uso racional del recurso

hídrico, la conservación de ecosistemas y la prevención del riesgo.

Componentes del POMCA

Diagnóstico Ambiental de la Cuenca: incluye caracterización climática,

geológica, edáfica, hidrológica y ecológica.

• Delimitación y Zonificación Ambiental: identifica áreas de recarga, uso

prioritario del suelo, zonas de riesgo o conservación.

Modelo Hidrológico y Plan de Manejo del Recurso Hídrico: aquí se simulan

los flujos de agua superficial y subterránea.

Plan de Acción: define programas y proyectos para el manejo integral de la

cuenca (reforestación, control de erosión, monitoreo, etc.).

Participación Social: incluye a comunidades, autoridades locales y usuarios

del agua en la toma de decisiones.

Plan de Ordenamiento de Microcuencas

El Plan de Ordenamiento de Microcuencas es una herramienta de planificación

ambiental y territorial que busca conservar los recursos naturales, regular el uso del

suelo y garantizar la disponibilidad del recurso hídrico en unidades hidrográficas

pequeñas. Es fundamental en ecosistemas estratégicos como los páramos, donde

se generan y regulan importantes flujos de agua superficial.

APROBADO POR: Líder del Sistema Integrado de Gestión FECHA APROBACIÓN: Octubre de 2023

UTS Unitiades Lechningion de Santande

F-DC-125

INFORME FINAL DE TRABAJO DE GRADO EN MODALIDAD DE PROYECTO DE INVESTIGACIÓN, DESARROLLO TECNOLÓGICO, MONOGRAFÍA, EMPRENDIMIENTO Y SEMINARIO

VERSIÓN: 2.0

PÁGINA 30

DE 81

Este plan incluye el diagnóstico físico y ambiental de la microcuenca, el análisis de

la cobertura vegetal y del uso del suelo, la evaluación hidrológica con apoyo de

herramientas como los Modelos Digitales de Elevación (MDE) y la zonificación

ambiental para definir áreas de conservación y manejo.

En el Páramo de Berlín, este tipo de planificación es crucial para proteger la

estructura ecológica y el equilibrio hídrico, especialmente frente a amenazas como

la deforestación, la agricultura intensiva o el cambio climático. Tu proyecto, al

modelar flujos de agua superficial con base en MDE, aporta insumos valiosos para

estos planes, facilitando la toma de decisiones técnicas y ambientales con enfoque

sostenible.

2.4. Marco Legal

Lev 1930 de 2018 - Lev de Páramos

La Ley 1930 de 2018 establece los lineamientos para la gestión integral de los

páramos en Colombia, reconociendo su importancia ecológica como ecosistemas

estratégicos productores y reguladores de agua. Esta ley tiene como objetivo

principal proteger las funciones ecológicas del páramo, conservar su biodiversidad

y asegurar su uso sostenible mediante herramientas de planificación ambiental,

científica y social.

Entre sus disposiciones más relevantes, la ley prohíbe expresamente las

actividades mineras, de hidrocarburos y agroindustriales dentro de los páramos

delimitados oficialmente. Asimismo, promueve la formulación de Planes de Manejo

Ambiental para páramos, articulados con los instrumentos de ordenamiento

territorial, los planes de desarrollo municipales y los planes de cuencas (POMCA).

UTS Unidades De notifique de Sentando

F-DC-125

INFORME FINAL DE TRABAJO DE GRADO EN MODALIDAD DE PROYECTO DE INVESTIGACIÓN, DESARROLLO TECNOLÓGICO, MONOGRAFÍA, EMPRENDIMIENTO Y SEMINARIO

VERSIÓN: 2.0

PÁGINA 31

DE 81

En el contexto del Páramo de Berlín, esta ley respalda la necesidad de realizar

estudios técnicos, como el diseño de modelos de flujos superficiales, para evaluar

la funcionalidad hídrica del ecosistema, identificar zonas de recarga y aportar

información científica para la toma de decisiones en conservación y restauración.

Esquema de Ordenamiento Territorial (EOT) de Tona

El EOT de Tona es el instrumento que orienta el desarrollo físico, ambiental y

socioeconómico del municipio, garantizando el uso adecuado del suelo, la

protección de áreas ambientales estratégicas y la gestión sostenible de los recursos

naturales.

Tona es uno de los municipios con mayor territorio dentro del Páramo de Berlín, por

lo que el EOT incluye como áreas de especial protección las microcuencas

hidrográficas, nacimientos de agua y zonas de recarga hídrica que abastecen

acueductos locales y regionales. El EOT establece restricciones sobre el uso del

suelo en zonas de páramo, prohíbe su transformación para actividades agrícolas

intensivas y promueve la restauración ecológica y la conservación de fuentes

hídricas.

Además, el EOT de Tona incorpora criterios de ordenamiento ambiental territorial

que están alineados con la Ley 1930 de 2018 y el POMCA del río Lebrija. En este

sentido, el desarrollo de modelos como el propuesto en este proyecto contribuye al

fortalecimiento técnico del EOT, al delimitar con mayor precisión las microcuencas,

identificar zonas vulnerables y priorizar acciones de manejo sostenible del agua.





INFORME FINAL DE TRABAJO DE GRADO EN MODALIDAD DE PROYECTO DE INVESTIGACIÓN, DESARROLLO TECNOLÓGICO, MONOGRAFÍA, EMPRENDIMIENTO Y SEMINARIO

VERSIÓN: 2.0

PÁGINA 32

DE 81

3. DISEÑO DE LA INVESTIGACIÓN

El desarrollo de este proyecto se basa en un enfoque cuantitativo, ya que se trabajará principalmente con información geoespacial y datos hidrológicos que permitirán analizar cómo se comportan los flujos de agua superficial en las microcuencas del páramo de Berlín. Además, la investigación es de tipo descriptivo y explicativo: por un lado, busca describir las características físicas y topográficas del terreno, y por otro, explicar la relación entre estas características y el comportamiento del agua en superficie.

En cuanto al método, se combinarán enfoques inductivos y deductivos. El inductivo permitirá analizar los datos que se obtengan y extraer conclusiones a partir de ellos, mientras que el deductivo servirá para validar los resultados del modelo, comparándolos con la información real de las microcuencas y sus redes de drenaje.

Para alcanzar los objetivos propuestos, se emplearán diversas herramientas y técnicas. Entre ellas, el uso de Sistemas de Información Geográfica (SIG) mediante el software ArcGIS Pro, que facilitará el análisis de los Modelos Digitales de Elevación (MDE) obtenidos del IGAC y SRTM. Estos datos se complementarán con imágenes satelitales (de fuentes como el USGS) y registros hidrometeorológicos del IDEAM. Como valor agregado, el modelo de las microcuencas será impreso en 3D para contar con una representación física del relieve, lo que facilitará la comprensión y el análisis del territorio.



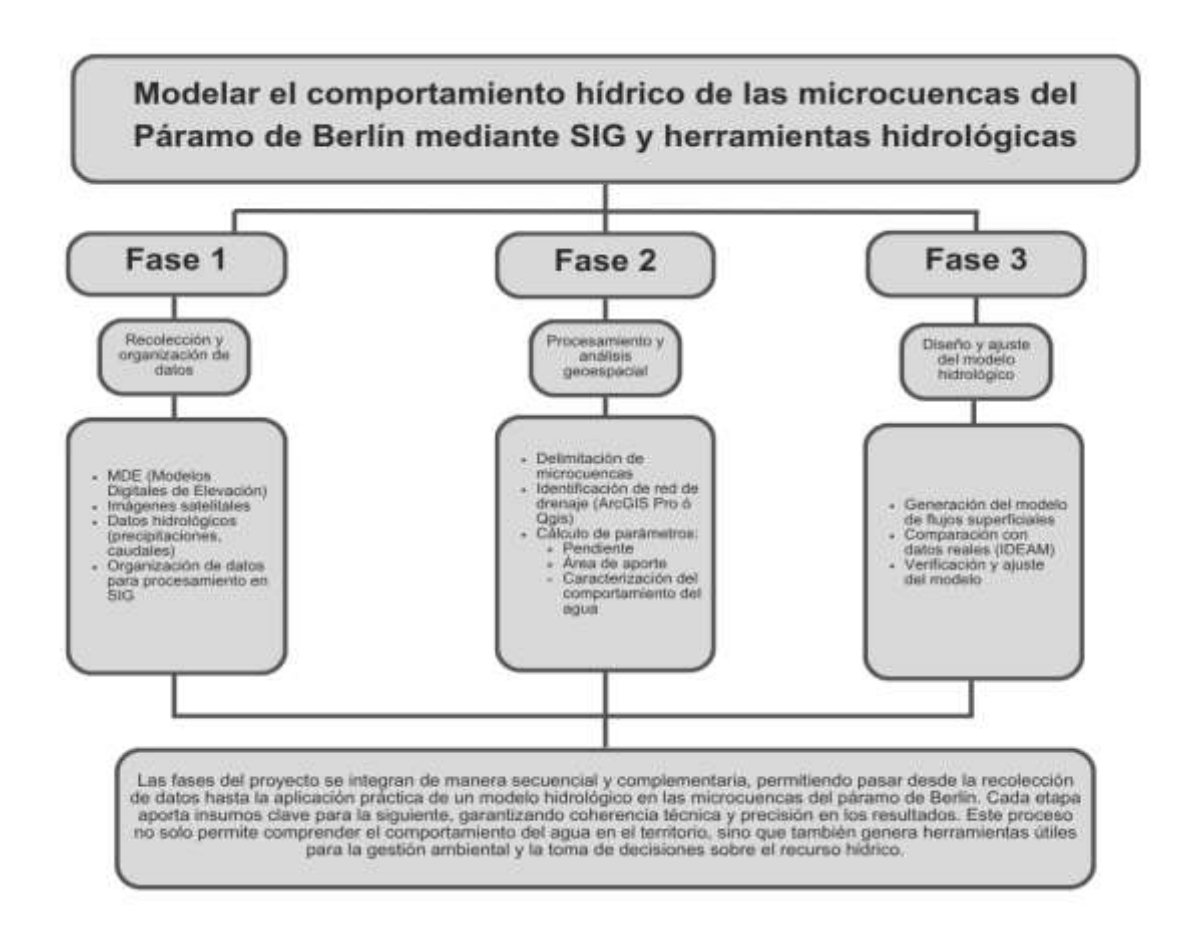


INFORME FINAL DE TRABAJO DE GRADO EN MODALIDAD DE PROYECTO DE INVESTIGACIÓN, DESARROLLO TECNOLÓGICO, MONOGRAFÍA, EMPRENDIMIENTO Y SEMINARIO

VERSIÓN: 2.0

El proceso metodológico se llevará a cabo en varias fases:

Figura 1. Tabla de Fases



Fuente: Autores (2025).

INFORME FINAL DE TRABAJO DE GRADO EN MODALIDAD DE PROYECTO DE INVESTIGACIÓN, DESARROLLO TECNOLÓGICO, MONOGRAFÍA, EMPRENDIMIENTO Y SEMINARIO

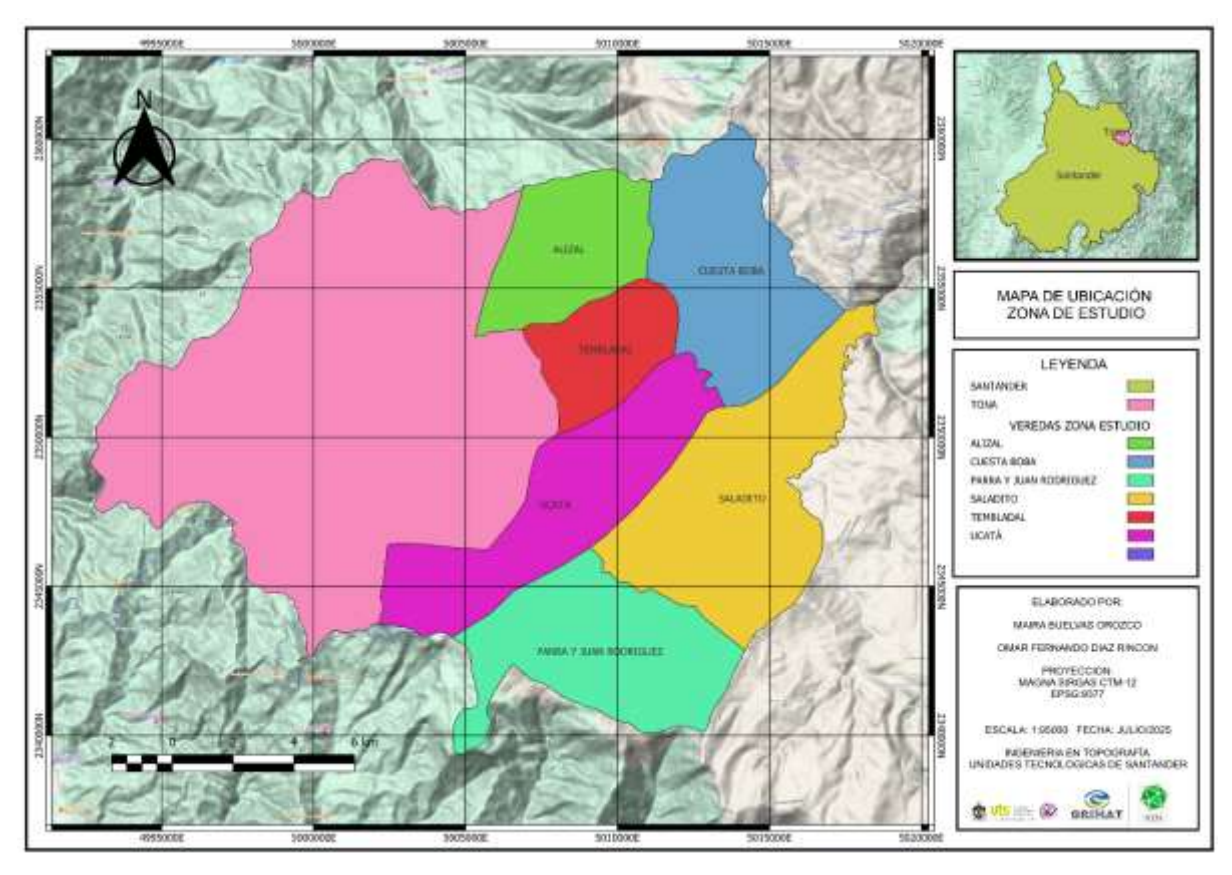
VERSIÓN: 2.0

PÁGINA 34

DE 81

4. DESARROLLO DEL TRABAJO DE GRADO

Figura 2. Mapa de Localización



Fuente: Autores (2025).

La zona de estudio se localiza en el municipio de Tona, departamento de Santander, específicamente en el sector correspondiente al Páramo de Berlín. Esta región, de gran importancia ecológica e hídrica, forma parte del sistema andino colombiano y alberga microcuencas esenciales para la regulación del recurso hídrico regional.

El área se encuentra distribuida en seis veredas: Alizal, Cuesta Boba, Parra y Juan Rodríguez, Saladito, Tembladal y Ucatá, las cuales han sido delimitadas cartográficamente para el análisis.





INFORME FINAL DE TRABAJO DE GRADO EN MODALIDAD DE PROYECTO DE INVESTIGACIÓN, DESARROLLO TECNOLÓGICO, MONOGRAFÍA, EMPRENDIMIENTO Y SEMINARIO

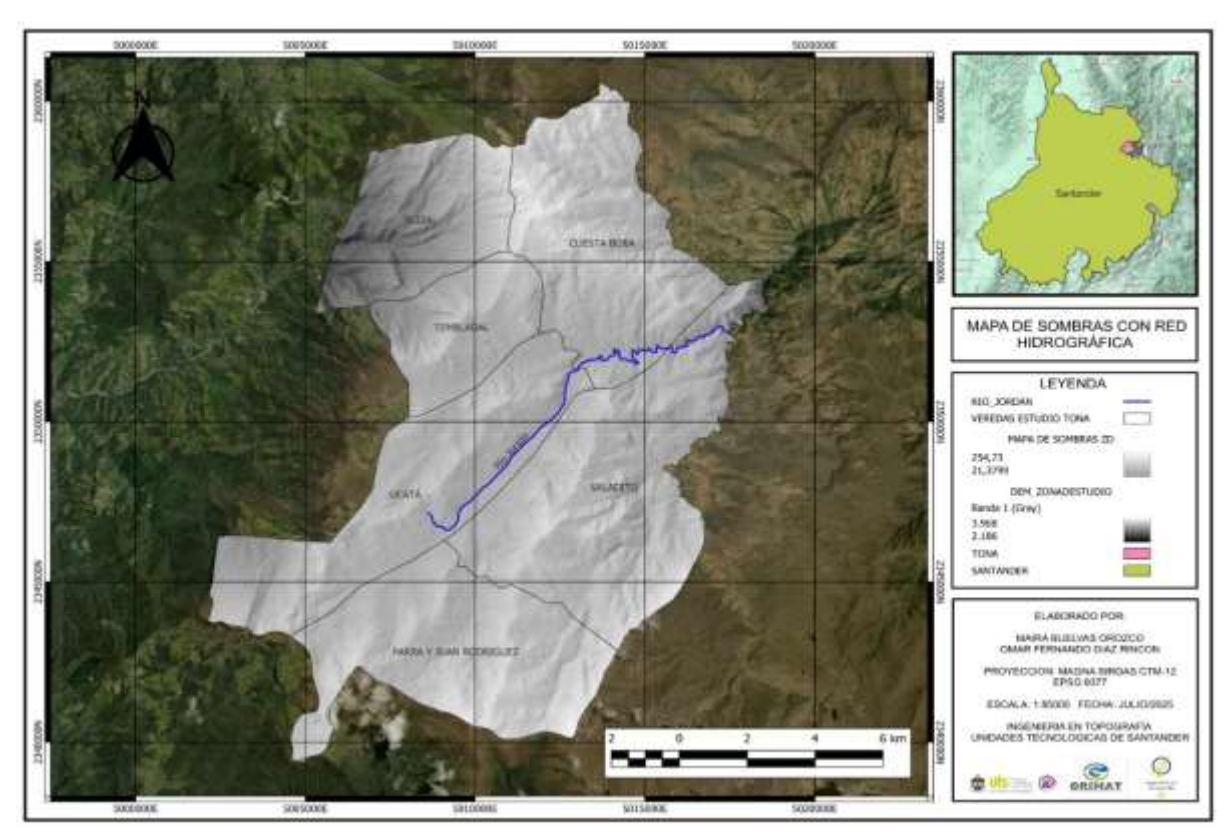
VERSIÓN: 2.0

PÁGINA 35

DE 81

No obstante, se recopilo información teórica, observada en el estado del arte la cual se contempla en la página 16 en la tabla N°1 en la cual se encuentra información clave y de apoyo el Diseño de un modelo de Flujos de Agua Superficial en Microcuencas del Páramo de Berlín Usando MDE para Evaluación Hidrológica en 2025.

Figura 3. Mapa de Sombras



Fuente: Autores (2025).





INFORME FINAL DE TRABAJO DE GRADO EN MODALIDAD DE PROYECTO DE INVESTIGACIÓN, DESARROLLO TECNOLÓGICO, MONOGRAFÍA, EMPRENDIMIENTO Y SEMINARIO

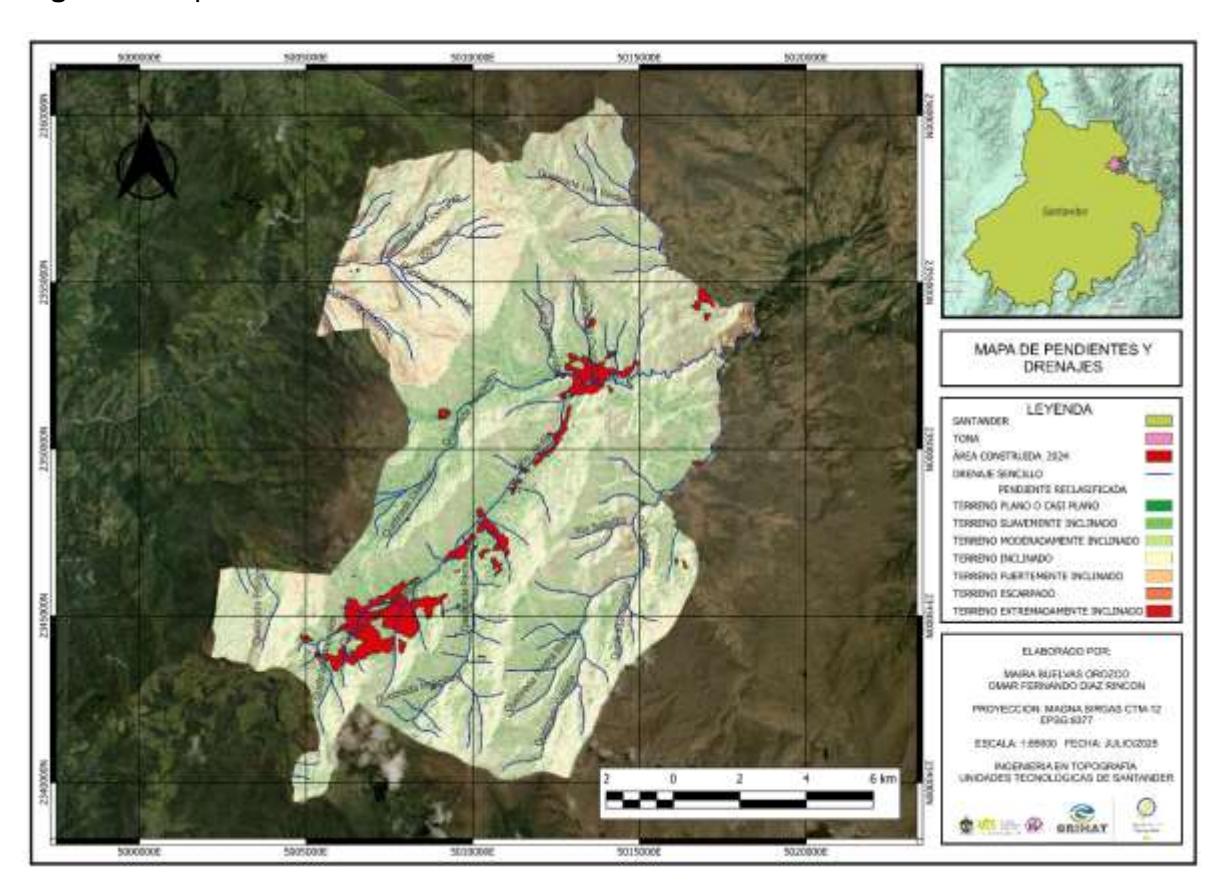
VERSIÓN: 2.0

PÁGINA 36

DE 81

Ahora bien, con el Modelo Digita de Elevación (MDE) se modela un mapa de pendientes, este nos permite identificar valles y crestas viendo la leve inclinación del terreno el cual también nos permite visualizar a criterio las Microcuencas del Páramo de Berlín y área de estudio justo a su hidrología.

Figura 4. Mapa de Pendientes



Fuente: Autores (2025).

Dentro del desarrollo del trabajo, se realizó una identificación y clasificación de coberturas terrestres predominantes, entre las cuales se destacan: cuerpos de agua, coberturas vegetales, áreas de cultivos, zonas construidas y pastizales. Esta caracterización es fundamental para establecer el grado de intervención antrópica

INFORME FINAL DE TRABAJO DE GRADO EN MODALIDAD DE PROYECTO DE INVESTIGACIÓN, DESARROLLO TECNOLÓGICO, MONOGRAFÍA, EMPRENDIMIENTO Y SEMINARIO

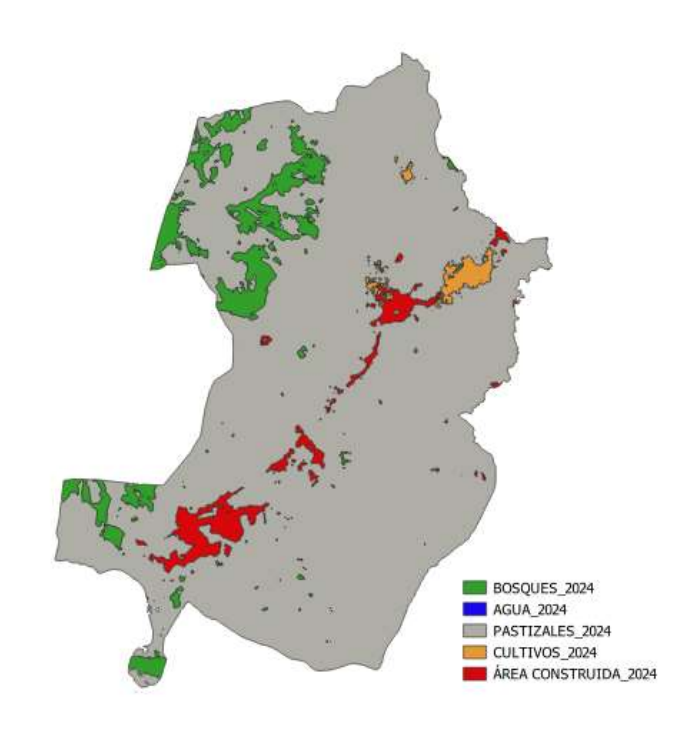
VERSIÓN: 2.0

PÁGINA 37

DE 81

en la zona, evaluar el estado de conservación del ecosistema paramuno y determinar la relación entre el uso del suelo y la dinámica hídrica local.

Figura 5. Clasificación de Coberturas



Fuente: Autores (2025).

El análisis espacial de estas coberturas, apoyado en Sistemas de Información Geográfica (SIG), permite identificar zonas críticas de transformación del paisaje, áreas prioritarias para conservación y sectores potencialmente vulnerables ante el cambio climático o el uso no planificado del territorio. Asimismo, se busca establecer un diagnóstico que oriente futuras estrategias de manejo sostenible del páramo, basadas en información cartográfica precisa y actualizada.

En este contexto, el proyecto no solo contribuye al conocimiento técnico del territorio, sino que también proporciona insumos fundamentales para la gestión





INFORME FINAL DE TRABAJO DE GRADO EN MODALIDAD DE PROYECTO DE INVESTIGACIÓN, DESARROLLO TECNOLÓGICO, MONOGRAFÍA, EMPRENDIMIENTO Y SEMINARIO

VERSIÓN: 2.0

PÁGINA 38

DE 81

ambiental, la planificación del desarrollo rural y la toma de decisiones en torno a la protección del recurso hídrico.

MAPA DE CLIMA

LEYENDA
CLIMA

D'EXPRADMENTE PROD. NUMERO A PLUTA MAPA DE CLIMA

LEYENDA
CLIMA

D'EXPRADMENTE PROD. NUMERO A PLUTA MAPA DE CLIMA

LEYENDA
CLIMA

D'EXPRADMENTE PROD. NUMERO A PLUTA MAPA DE CLIMA

LEYENDA
CLIMA

D'EXPRADMENTE PROD. NUMERO A PLUTA MAPA DE CLIMA

LEYENDA
CLIMA

D'EXPRADMENTE PROD. NUMERO A PLUTA MAPA DE CLIMA

LEYENDA
CLIMA

D'EXPRADMENTE PROD. NUMERO A PLUTA MAPA DE CLIMA

LEYENDA
CLIMA

D'EXPRADMENTE PROD. NUMERO A PLUTA MAPA DE CLIMA

D'EXPRADMENTE PROD. NUMERO

Figura 6. Mapa de climas sobre Zona de Estudio

Fuente: Autores (2025).

El mapa refleja la predominancia de climas fríos y húmedos en el páramo de Berlín, con sectores que alcanzan condiciones extremas de frío y alta pluviosidad. Esta variabilidad climática favorece la formación de humedales y zonas de acumulación de agua, esenciales para el equilibrio hídrico de la microcuenca del río Jordán. Durante el trabajo de campo se evidenció cómo estos factores influyen en la vegetación y en la dinámica de los suelos, mostrando que las áreas con mayor humedad retienen mejor el recurso, mientras que en zonas intervenidas se generan procesos de escorrentía más marcados. En conjunto, este análisis confirma que el



INFORME FINAL DE TRABAJO DE GRADO EN MODALIDAD DE PROYECTO DE INVESTIGACIÓN, DESARROLLO TECNOLÓGICO, MONOGRAFÍA, EMPRENDIMIENTO Y SEMINARIO

VERSIÓN: 2.0

PÁGINA 39

DE 81

clima es un componente determinante para entender y gestionar las microcuencas del páramo.

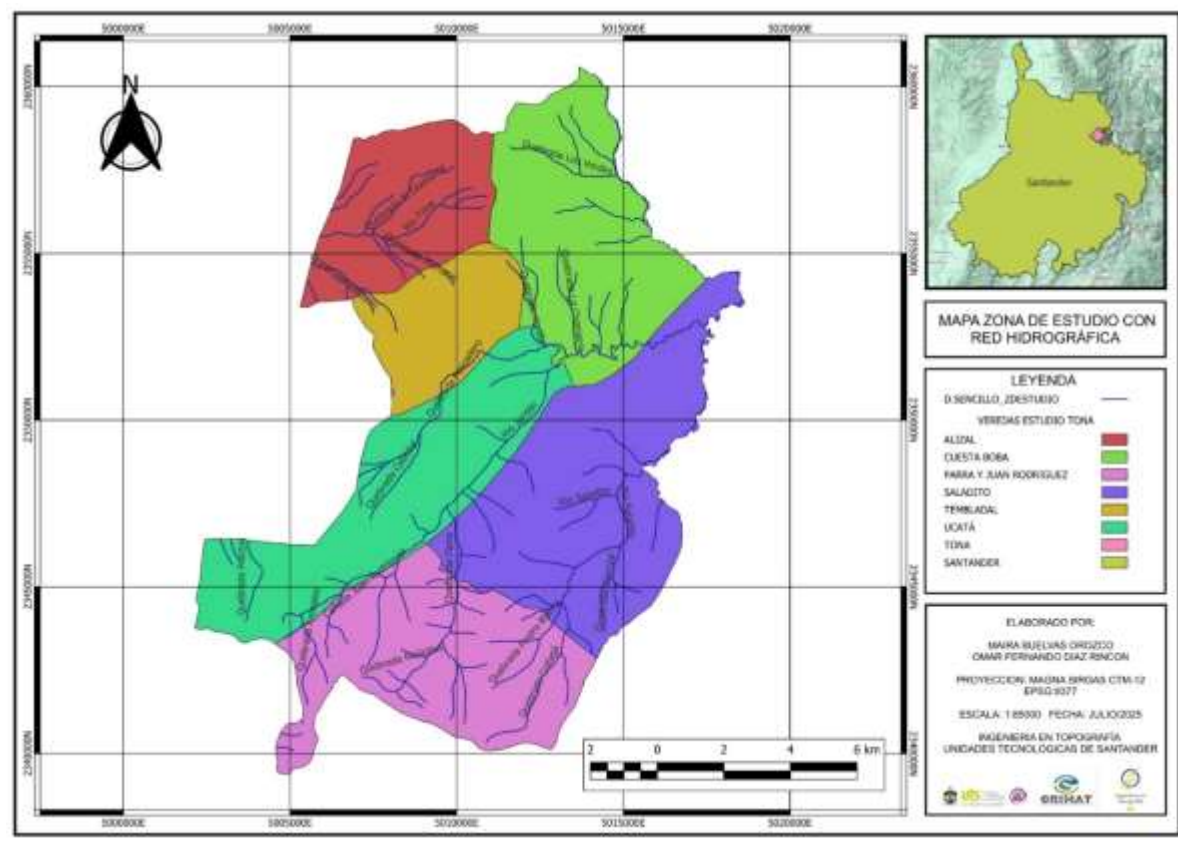


Figura 7. Mapa de Zona de Estudio con red Hidrográfica

Fuente: Autores (2025).

La zona de estudio está estructurada por una red hidrográfica compuesta por ríos y quebradas que drenan el territorio en distintas direcciones, configurando microcuencas claves para la evaluación hidrológica. Este sistema de drenaje tiene una alta dependencia de la topografía y del régimen climático de alta montaña propio del Páramo de Berlín.

Los principales cuerpos de agua identificados son:



F-DC-125

INFORME FINAL DE TRABAJO DE GRADO EN MODALIDAD DE PROYECTO DE INVESTIGACIÓN, DESARROLLO TECNOLÓGICO, MONOGRAFÍA, EMPRENDIMIENTO Y SEMINARIO

VERSIÓN: 2.0

PÁGINA 40

DE 81

 Río Tona, ubicado al norte de la zona, es un curso principal que recoge aguas de microcuencas adyacentes y tiene un papel fundamental en el abastecimiento de recursos hídricos para uso doméstico y agrícola (CAR, 2020).

- Río Jordán, de curso medio, actúa como drenaje colector entre varias quebradas menores y conecta flujos superficiales hacia zonas más bajas. Su presencia es clave en la conectividad de la red hídrica regional.
- Río Salado y Río Salado 2, presentes en la porción oriental y suroriental del área, conforman un sistema de drenaje de alto caudal, influenciado por precipitaciones orográficas y características morfológicas del terreno (IGAC, 2020).
- Quebradas como El Diviso, Curití, La Lajita, Quince Letras y El Palmar tienen un comportamiento de flujo intermitente o estacional, típico en zonas de páramo. Estas microcorrientes desempeñan un papel relevante en el almacenamiento y liberación progresiva del agua, funcionando como reguladores naturales del recurso hídrico (IDEAM, 2018).

Estas fuentes hídricas se interrelacionan entre sí, conformando una red densa y jerárquicamente estructurada, cuyo análisis espacial es esencial para la modelación de flujos de agua superficial a partir de Modelos Digitales de Elevación (MDE), especialmente bajo criterios de conservación ambiental y manejo de cuencas.





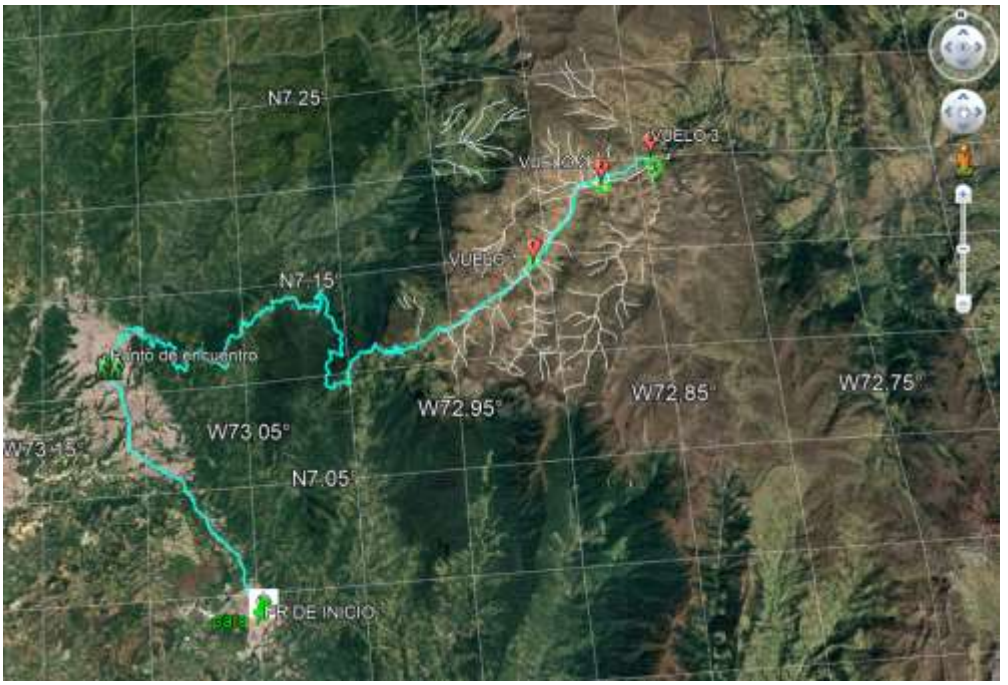
INFORME FINAL DE TRABAJO DE GRADO EN MODALIDAD DE PROYECTO DE INVESTIGACIÓN, DESARROLLO TECNOLÓGICO, MONOGRAFÍA, EMPRENDIMIENTO Y SEMINARIO

VERSIÓN: 2.0

PÁGINA 41

DE 81

Figura 8. Recorrido Completo, Pr Inicial, Punto De Encuentro, Puntos De Vuelos



Fuente: Autores (2025).

En esta imagen se observa el recorrido completo que realizamos durante el trabajo de campo en la microcuenca del río Jordán, específicamente en la vereda Ucatá. Allí se definió el punto de inicio, el sitio de encuentro y los lugares en los que se desarrollaron los vuelos con dron. Este trazado fue fundamental porque nos permitió planear de manera organizada la cobertura del área de estudio, asegurando que cada tramo de la microcuenca quedara representado en la información recolectada. Al seguir esta ruta, pudimos registrar desde los sectores más altos, donde nacen las corrientes hídricas, hasta las zonas medias con mayor intervención antrópica. De esta forma, el recorrido no solo sirvió como guía para los vuelos, sino también como un apoyo clave para entender cómo se distribuyen el relieve, la vegetación y las primeras derivaciones de los flujos de agua dentro de la microcuenca.





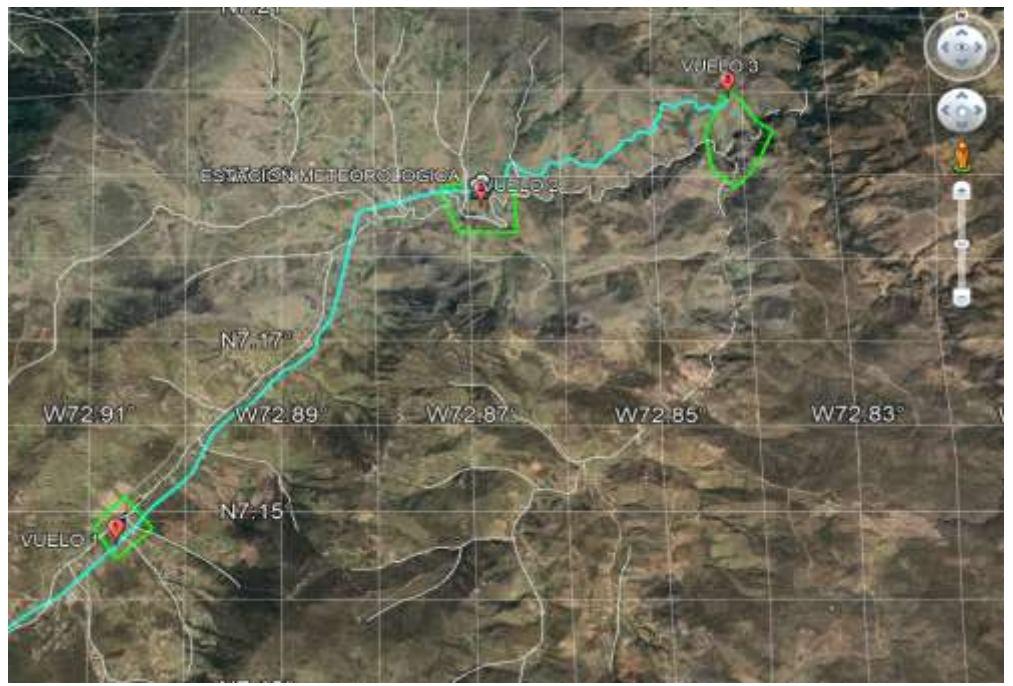
INFORME FINAL DE TRABAJO DE GRADO EN MODALIDAD DE PROYECTO DE INVESTIGACIÓN, DESARROLLO TECNOLÓGICO, MONOGRAFÍA, EMPRENDIMIENTO Y SEMINARIO

VERSIÓN: 2.0

PÁGINA 42

DE 81

Figura 9. Localizaciones De Vuelos



Fuente: Autores (2025).

Esta imagen muestra los puntos estratégicos que seleccionamos para realizar los vuelos con dron a lo largo de la microcuenca. Estos sitios se escogieron de manera cuidadosa, teniendo en cuenta la necesidad de registrar diferentes coberturas como pastizales, áreas de uso agropecuario, vegetación natural y no obstante y más importante para esta investigación los cuerpos de agua que alimentan al río Jordán. La ubicación de estos puntos no fue al azar: se planearon para que la información recolectada tuviera la mayor representatividad posible.





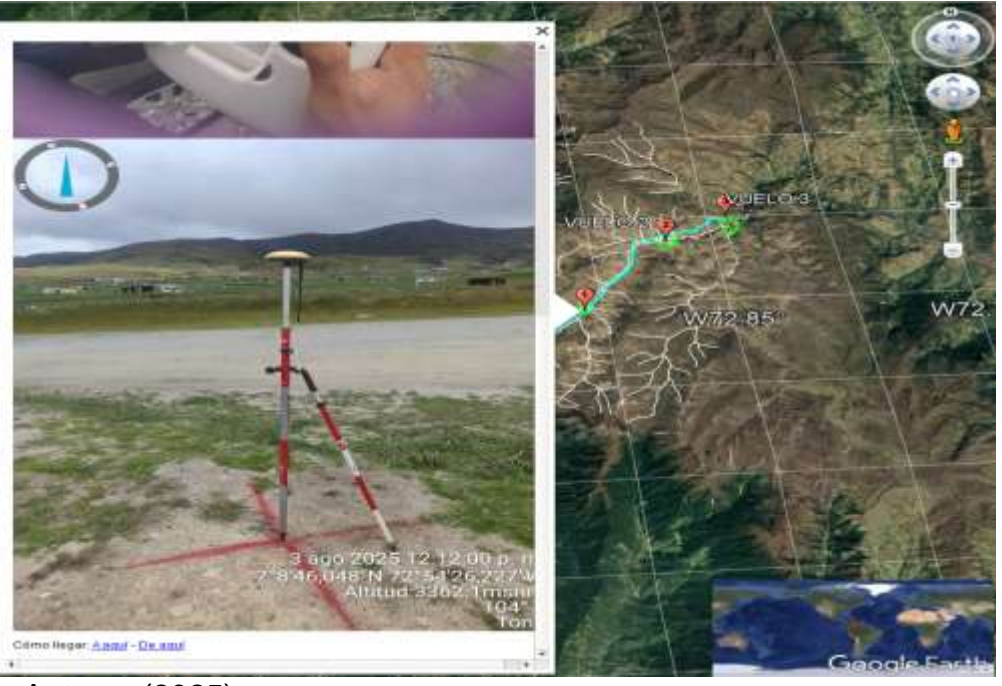
INFORME FINAL DE TRABAJO DE GRADO EN MODALIDAD DE PROYECTO DE INVESTIGACIÓN, DESARROLLO TECNOLÓGICO, MONOGRAFÍA, EMPRENDIMIENTO Y SEMINARIO

VERSIÓN: 2.0

PÁGINA 43

DE 81

Figura 10. Punto De Control Del Vuelo #1



Fuente: Autores (2025).

En esta imagen se documenta uno de los puntos de control GNSS levantados durante la primera jornada de campo. El equipo fue instalado sobre una mira vertical, justo en una intersección marcada con pintura roja, en un terreno de transición entre vía rural y vegetación dispersa. La lectura altimétrica alcanzó los 3362.1 m s.n.m., y la ubicación fue registrada con precisión gracias al uso de coordenadas geográficas y orientación de rumbo. Este punto no fue elegido al azar: su visibilidad, estabilidad y cercanía a elementos de referencia como mojones físicos lo convirtieron en una base confiable para la ortorrectificación del vuelo.





INFORME FINAL DE TRABAJO DE GRADO EN MODALIDAD DE PROYECTO DE INVESTIGACIÓN, DESARROLLO TECNOLÓGICO, MONOGRAFÍA, EMPRENDIMIENTO Y SEMINARIO

VERSIÓN: 2.0

PÁGINA 44

DE 81

Figura 11. Evidencia Fotográfica del Recorrido



Fuente: Autores (2025).

Esta imagen registra el momento en que se supervisa en tiempo real el primer vuelo del dron, desde un punto ubicado en zona alta de la vereda Ucata, en el Páramo de Berlín. A la izquierda, se observa al operador concentrado en la interfaz del dispositivo móvil, mientras el dron transmite imágenes del relieve montañoso bajo un cielo cubierto. La presencia del vehículo y el equipo técnico en el lugar evidencia la logística desplegada para iniciar el proceso de levantamiento.



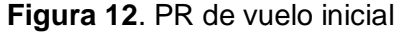


INFORME FINAL DE TRABAJO DE GRADO EN MODALIDAD DE PROYECTO DE INVESTIGACIÓN, DESARROLLO TECNOLÓGICO, MONOGRAFÍA, EMPRENDIMIENTO Y SEMINARIO

VERSIÓN: 2.0

PÁGINA 45

DE 81





Fuente: Autores (2025).

En el primer vuelo se registraron las áreas iniciales de la microcuenca, donde predominan los usos agropecuarios y los primeros tramos de corrientes hídricas que descienden de la parte alta.

Las imágenes muestran con claridad las líneas de drenaje iniciales, acompañadas de cultivos y zonas de pastoreo, lo cual evidencia una fuerte presión antrópica sobre la recarga hídrica. Este vuelo permitió establecer el punto de transición entre las áreas intervenidas y el inicio de los ecosistemas de páramo, fundamentales para la toma y recopilación de los puntos de control y de la recopilación de los datos de vuelo .





INFORME FINAL DE TRABAJO DE GRADO EN MODALIDAD DE PROYECTO DE INVESTIGACIÓN, DESARROLLO TECNOLÓGICO, MONOGRAFÍA, EMPRENDIMIENTO Y SEMINARIO

VERSIÓN: 2.0

PÁGINA 46

DE 81

Figura 13. Punto De Control Del Vuelo #2



Fuente: Autores (2025).

Punto de referencia geoespacial establecido durante el segundo vuelo de dron, ubicado en una zona de transición altitudinal del Páramo de Berlín. Con una altitud de 3317 metros, este punto contribuye a mejorar la ortorrectificación de imágenes y la continuidad del modelo fotogramétrico. Su ubicación fue seleccionada por su representatividad geomorfológica, al encontrarse en un área con pendientes suaves y vegetación típica del ecosistema de páramo, lo que facilita la interpretación de patrones de drenaje y acumulación superficial en la microcuenca.





INFORME FINAL DE TRABAJO DE GRADO EN MODALIDAD DE PROYECTO DE INVESTIGACIÓN, DESARROLLO TECNOLÓGICO, MONOGRAFÍA, EMPRENDIMIENTO Y SEMINARIO

VERSIÓN: 2.0

PÁGINA 47

DE 81

Figura 14. Punto de Control pc



Fuente: Autores (2025).

Este segundo punto de control fue tomado en proximidad al anterior, dentro del mismo vuelo, en una zona de descenso topográfico cercana a un cauce principal claramente visible. Con una altitud de 3316 metros, su ubicación permite validar la delimitación hidrológica y analizar la dinámica de concentración de flujo en la microcuenca. Durante el levantamiento, se registraron condiciones climáticas adversas, con ráfagas de viento intensas que provocaban movimientos bruscos en el dron, dificultando la estabilidad del vuelo y la captura precisa de imágenes. A pesar de ello, este punto aporta información clave para el análisis morfodinámico del canal y la evaluación de procesos erosivos activos.





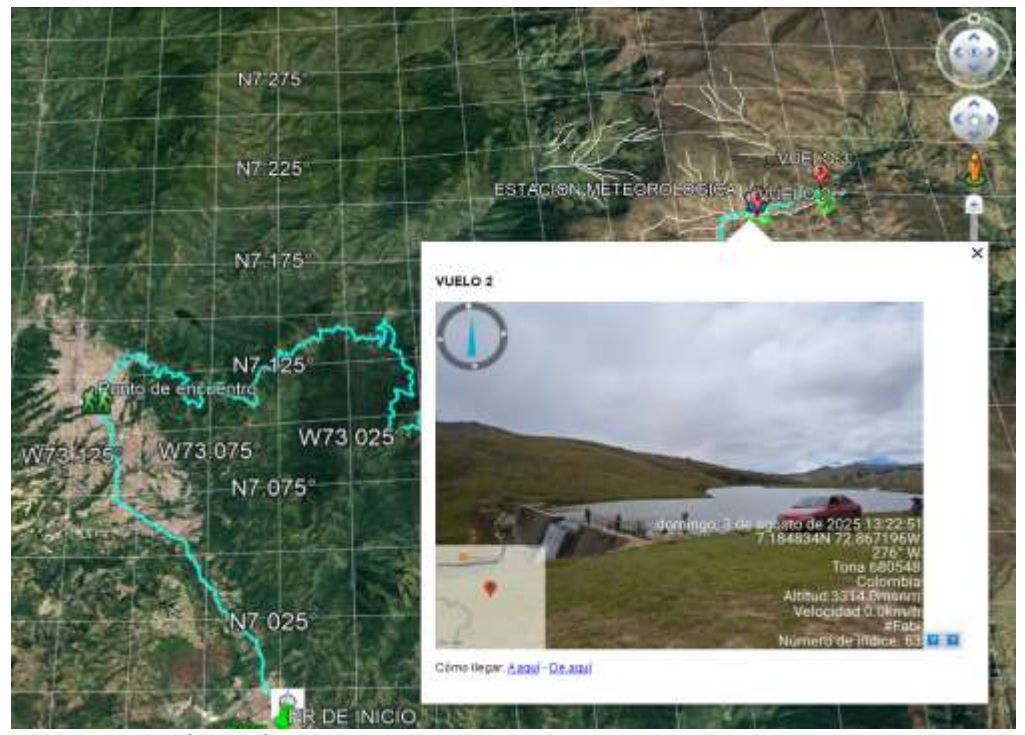
INFORME FINAL DE TRABAJO DE GRADO EN MODALIDAD DE PROYECTO DE INVESTIGACIÓN, DESARROLLO TECNOLÓGICO, MONOGRAFÍA, EMPRENDIMIENTO Y SEMINARIO

VERSIÓN: 2.0

PÁGINA 48

DE 81

Figura 15. Localización Del Vuelo #2



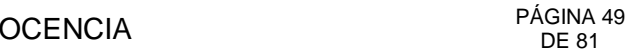
Fuente: Autores (2025).

Durante el segundo vuelo se capturó esta imagen en una zona de pendiente mínima, donde el terreno favorece la acumulación natural de agua entre las montañas del Páramo de Berlín. Lo que se observa es una estructura de retención artificial, ubicada estratégicamente en el relieve para contener el flujo superficial. Esta formación, aunque construida, se adapta al entorno y permite estudiar cómo el agua se concentra y se distribuye en función de la morfología del terreno.

En ese momento, las condiciones climáticas fueron exigentes: el viento constante obligó a realizar maniobras precisas para estabilizar el dron y asegurar la calidad del registro. Cerca de este punto se identificaron mojones físicos que sirvieron como referencia para pisar puntos GNSS, lo que permitió obtener una ubicación más precisa y confiable para la ortorrectificación de las imágenes.

Las coordenadas registradas en este punto fueron:





INFORME FINAL DE TRABAJO DE GRADO EN MODALIDAD DE PROYECTO DE INVESTIGACIÓN, DESARROLLO TECNOLÓGICO, MONOGRAFÍA, EMPRENDIMIENTO Y SEMINARIO

VERSIÓN: 2.0

Figura 16. Mojón #1



Fuente: Autores (2025).

1025,1286513.4130,1133598.5540,3312.3780,mojon1

Figura 17. Mojón #2







INFORME FINAL DE TRABAJO DE GRADO EN MODALIDAD DE PROYECTO DE INVESTIGACIÓN, DESARROLLO TECNOLÓGICO, MONOGRAFÍA, EMPRENDIMIENTO Y SEMINARIO

VERSIÓN: 2.0

PÁGINA 50

DE 81

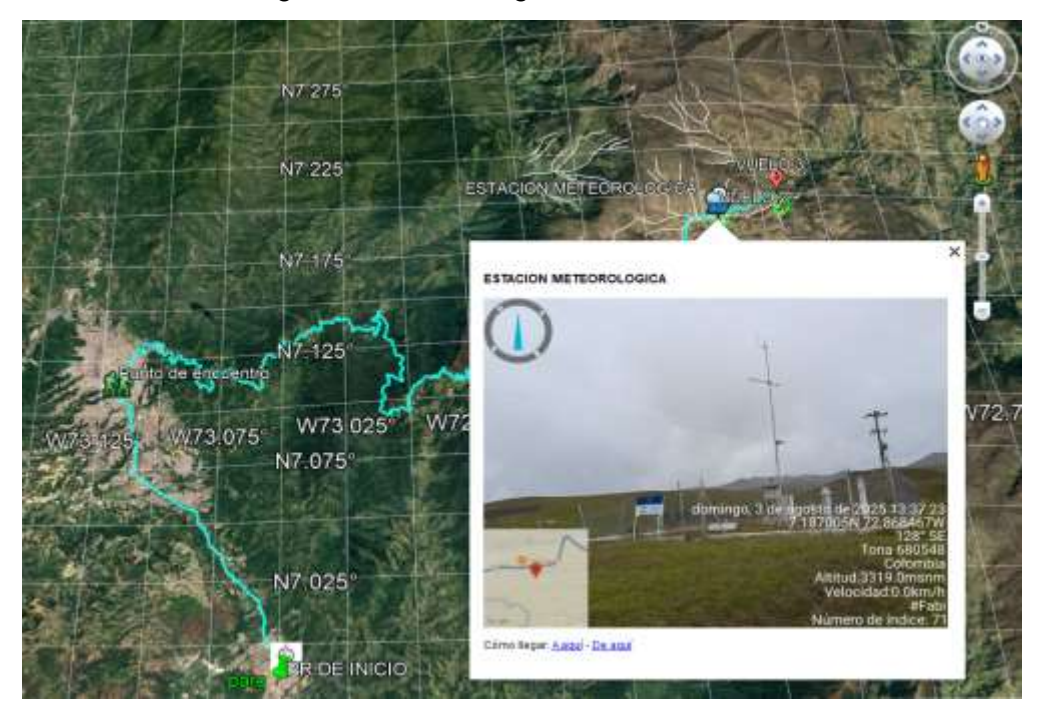
Fuente: Autores (2025).

1026,1286441.4480,1133697.3300,3310.5500,mojon2

Estas fueron las coordenadas y evidencia del vuelo número 2 de las cuales se evidenciaron las coordenadas anteriormente mencionadas

Estas coordenadas presentadas de cada mojón fueron tomadas y pisadas como anterior mente se mencionan, están tomadas con equipo RTK de alta precisión para mayor confiabilidad. Las coordenadas anterior mente mencionadas de dan en sistema de referencia UTM.

Figura 18. Base meteorológica del IDEAM registrada en el vuelo numero 2



Fuente: Autores (2025).

Esta imagen corresponde a la estación meteorológica ubicada en el sector del Páramo de Berlín, registrada durante el segundo vuelo del proyecto. Su presencia en el recorrido no fue casual: forma parte de los puntos clave que permiten entender





INFORME FINAL DE TRABAJO DE GRADO EN MODALIDAD DE PROYECTO DE INVESTIGACIÓN, DESARROLLO TECNOLÓGICO, MONOGRAFÍA, EMPRENDIMIENTO Y SEMINARIO

VERSIÓN: 2.0

PÁGINA 51

DE 81

cómo las condiciones atmosféricas influyen directamente en la dinámica hídrica de la microcuenca. Según los objetivos del trabajo, buscamos integrar observación directa con datos técnicos para caracterizar el comportamiento del agua en zonas de alta montaña, y esta estación nos brinda información esencial para ese propósito.

El IDEAM, como entidad responsable del monitoreo climático en Colombia, recopila desde esta estación variables como temperatura, humedad, velocidad del viento y precipitación, que son fundamentales para validar los modelos de acumulación de flujo y escorrentía superficial que estamos construyendo. Además, durante el vuelo se evidenció la fuerza del viento en el sector: el dron se balanceaba con dificultad, lo que confirma en campo lo que los registros meteorológicos ya advierten.

Esta imagen no solo documenta un punto técnico, sino que representa la conexión entre el paisaje, el clima y los procesos naturales que estamos estudiando. Nos recuerda que cada dato tiene un contexto, y que entender el páramo requiere tanto de tecnología como de presencia en terreno.





INFORME FINAL DE TRABAJO DE GRADO EN MODALIDAD DE PROYECTO DE INVESTIGACIÓN, DESARROLLO TECNOLÓGICO, MONOGRAFÍA, EMPRENDIMIENTO Y SEMINARIO

VERSIÓN: 2.0

PÁGINA 52

DE 81

Figura 19. Punto De Control Del Vuelo #3



Fuente: Autores (2025).

Esta imagen registra el momento de preparación y despliegue del dron durante el tercer vuelo, en un punto de control ubicado en zona de acceso abierto y vegetación dispersa. El equipo se encuentra reunido en terreno, ajustando parámetros y verificando condiciones antes del despegue. Este punto marca el inicio de una nueva jornada de levantamiento, donde la coordinación entre operadores y la lectura del entorno son claves para garantizar la calidad del registro. La imagen refleja no solo el componente técnico del vuelo, sino también la dimensión humana del trabajo de campo: planificación, adaptación y presencia directa en el paisaje.





INFORME FINAL DE TRABAJO DE GRADO EN MODALIDAD DE PROYECTO DE INVESTIGACIÓN, DESARROLLO TECNOLÓGICO, MONOGRAFÍA, EMPRENDIMIENTO Y SEMINARIO

VERSIÓN: 2.0

PÁGINA 53

DE 81

Figura 20. Localización del vuelo #3



Fuente: Autores (2025).

En esta imagen se observa el dron en pleno vuelo sobre una zona de montaña del Páramo de Berlín, durante el tercer recorrido de levantamiento. El paisaje, aunque parcialmente visible, está cubierto por una densa neblina que limitaba la visibilidad y dificultaba la lectura del relieve desde el aire. Las condiciones climáticas fueron especialmente exigentes: ráfagas de viento constantes golpeaban el equipo, generando movimientos bruscos que comprometían la estabilidad del dron y la calidad de las capturas.

A pesar de ello, se logró mantener la trayectoria planificada y registrar este punto de control, que resulta clave para validar la cobertura aérea y entender cómo el clima de alta montaña influye directamente en la dinámica hídrica y en la operatividad de los vuelos. Esta imagen no solo documenta el recorrido, sino que refleja el esfuerzo técnico y humano necesario para trabajar en condiciones

INFORME FINAL DE TRABAJO DE GRADO EN MODALIDAD DE PROYECTO DE INVESTIGACIÓN, DESARROLLO TECNOLÓGICO, MONOGRAFÍA, **EMPRENDIMIENTO Y SEMINARIO**

VERSIÓN: 2.0

PÁGINA 54

DE 81

extremas, generando datos que luego serán interpretados para comprender con

mayor profundidad la dinámica hídrica y geomorfológica de la microcuenca.

5. RESULTADOS

En el marco de este trabajo de grado, uno de los enfoques principales fue el análisis

de la topografía de las microcuencas que conforman el territorio del Páramo de

Berlín, con especial atención a la cuenca del río Jordán. Para ello, procesamos un

Modelo Digital de Elevación (MDE), lo que nos permitió extraer información

detallada del relieve y derivar parámetros fundamentales para comprender el

comportamiento del flujo superficial.

A partir del MDE, obtuvimos variables como la altitud, la pendiente, la curvatura del

terreno, la dirección y acumulación de flujo, así como la generación automática de

la red de drenaje. Estos insumos nos ayudaron a delimitar con precisión las

microcuencas presentes en el área de estudio y a identificar su dinámica

morfohidrológica.

Uno de los hallazgos importantes fue el reconocimiento de gradientes altitudinales

que influyen en la distribución de coberturas del suelo y en el comportamiento

hídrico del paisaje. Notamos que las zonas más elevadas conservan aún parches

de vegetación natural, mientras que las zonas con menor altitud tienden a estar más

intervenidas por actividades agropecuarias. Las pendientes más marcadas se

asocian con áreas de escorrentía rápida, donde el riesgo de erosión es mayor,

especialmente si la cobertura vegetal ha sido reemplazada por cultivos o pastizales.

Gracias al análisis de acumulación de flujo, pudimos identificar rutas prioritarias por

donde se concentra el escurrimiento superficial, así como zonas de posible recarga

Docencia

US Unitades De notifique de Sentandi

F-DC-125

INFORME FINAL DE TRABAJO DE GRADO EN MODALIDAD DE PROYECTO DE INVESTIGACIÓN, DESARROLLO TECNOLÓGICO, MONOGRAFÍA, EMPRENDIMIENTO Y SEMINARIO

VERSIÓN: 2.0

PÁGINA 55

DE 81

hídrica. Esta información, relacionada con el uso actual del suelo, nos permitió

detectar sectores donde la transformación del paisaje podría estar afectando

negativamente el equilibrio natural del ecosistema.

Con base en estos resultados, logramos establecer una caracterización clara de las

microcuencas desde una perspectiva geomorfológica e hidrológica, lo cual

representa un insumo valioso para futuras simulaciones de flujos superficiales y

para la planificación de estrategias de manejo sostenible del territorio.

Todo este proceso no solo fortaleció nuestra comprensión del relieve y su

interacción con los procesos hídricos, sino que también nos permitió integrar de

manera práctica herramientas de análisis espacial para generar propuestas que

articulen la conservación del recurso hídrico con el ordenamiento territorial del

páramo.

Con base en datos climatológicos históricos y reportes del IDEAM (2024) para la

zona del Páramo de Berlín, se caracterizan las épocas de lluvia, seguía y heladas,

así como sus impactos en la microcuenca del río Jordán, particularmente en la

vereda Ucatá. Estos registros provienen de la estación climatológica Berlín y de

series históricas complementarias de alta montaña (IDEAM, 2022; Poveda et al.,

2019).





F-DC-125 INFORME FINAL DE TRABAJO DE GRADO EN MODALIDAD DE PROYECTO DE INVESTIGACIÓN, DESARROLLO TECNOLÓGICO, MONOGRAFÍA, EMPRENDIMIENTO Y SEMINARIO

VERSIÓN: 2.0

PÁGINA 56

DE 81

TablaRégimen mensual de precipitación y heladas (promedios históricos).

Mes	Precipitación	Heladas (días	Observaciones	
	promedio (mm)	promedio)		
Enero	45	10	Época seca,	
			riesgo de heladas	
			altas	
Febrero	50	8	Persisten heladas	
Marzo	120	3	Inicio de	
			temporada de	
			Iluvias.	
Abril	180	0	Alta pluviosidad,	
			recarga hídrica	
			máxima.	
Мауо	200	0	Mes más Iluvioso	
			del año	
Junio	90	4	Disminuye la	
			Iluvia, algunas	
			heladas.	
Julio	60	7	Mes seco con	
			heladas	
			frecuentes.	
Agosto	55	9	Alta probabilidad	
			de heladas.	
Septiembre	130	2	Inicio de segunda	
			temporada de	
			Iluvias.	
Octubre	170	0	Alta pluviosidad	



F-DC-125

INFORME FINAL DE TRABAJO DE GRADO EN MODALIDAD DE PROYECTO DE INVESTIGACIÓN, DESARROLLO TECNOLÓGICO, MONOGRAFÍA, EMPRENDIMIENTO Y SEMINARIO

VERSIÓN: 2.0

PÁGINA 57

DE 81

Noviembre	190	0	Segundo pico
			lluvioso.
Diciembre	70	6	Disminuyen
			Iluvias, aumentan
			heladas.

Fuente: Autores (2025).

Épocas de mayor Iluvia

Se identifican dos picos máximos: mayo (200 mm) y noviembre (190 mm), seguidos de abril y octubre, con valores superiores a 170 mm (IDEAM, 2024).

Estas lluvias intensas favorecen la recarga de acuíferos y el incremento de caudales (Poveda et al., 2019), pero incrementan riesgos de erosión en laderas y afectaciones en vías terciarias (Rodríguez & Carvajal, 2021).

Épocas de menor Iluvia

Enero, febrero, julio y agosto registran precipitaciones por debajo de 60 mm (IDEAM, 2022), correspondiendo a la temporada seca del altiplano santandereano.

Este déficit hídrico reduce los caudales del río Jordán y limita la disponibilidad de agua para riego y consumo (MADS, 2020).

Épocas de heladas

Las heladas se concentran principalmente en enero, julio y agosto, con promedios entre 8 y 10 días por mes (IDEAM, 2024).





INFORME FINAL DE TRABAJO DE GRADO EN MODALIDAD DE PROYECTO DE INVESTIGACIÓN, DESARROLLO TECNOLÓGICO, MONOGRAFÍA, EMPRENDIMIENTO Y SEMINARIO

VERSIÓN: 2.0

PÁGINA 58

DE 81

Estas condiciones afectan cultivos de papa, cebolla y pastos (Rojas et al., 2018), ocasionando pérdidas económicas y afectando la regeneración de vegetación nativa (Morales, 2017).

Intervalo sin heladas

Entre abril y noviembre las heladas son mínimas o inexistentes (IDEAM, 2022), lo que beneficia el desarrollo agrícola y la cobertura vegetal. Sin embargo, coincide con suelos más saturados y un aumento en escorrentía y posibles deslizamientos (García et al., 2021).

Tabla 3Coordenadas Tomadas en Campo

PUNTO EN EL MAPA			PENDIENTE	ITE DESCRIPCIÓN	CLIMA	ID
Х	Υ	(COTA)				
1129407.02	1282280.81	3343.917	0.48°	pc2	Extremadamente frío y húmedo	PIEDRA PARADA
1129283.18	1282145.48	3345.182	1.20°	BASE	Extremadamente frío y húmedo	PIEDRA PARADA
1133598.55	1286513.41	3312.378	0.58°	mojon1	Frío y húmedo	REPRESA
1133697.33	1286441.45	3310.55	0.56°	mojon2	Frío y húmedo	REPRESA
1133633,24	1286500.66	3310.027	0.48°	рс	Frío y húmedo	REPRESA
1133538.83	1286513.35	3308.191	1.17°	рс	Frio y húmedo	REPRESA
1133553.27	1286576.23	3311.641	0.89°	BASE	Frío y húmedo	REPRESA

Fuente: Autores (2025).

La tabla reúne los puntos de control levantados en el páramo, incluyendo sus coordenadas, altitud, pendiente, descripción de campo, clima asociado y sector de ubicación. Los resultados muestran que en Piedra Parada predominan pendientes entre 0.48° y 1.20°, bajo un clima extremadamente frío y húmedo. Estas condiciones generan suelos con alta capacidad de retención, donde se forman nacimientos y pequeños humedales. Por otro lado, los puntos de la zona de la represa se ubican





INFORME FINAL DE TRABAJO DE GRADO EN MODALIDAD DE PROYECTO DE INVESTIGACIÓN, DESARROLLO TECNOLÓGICO, MONOGRAFÍA, EMPRENDIMIENTO Y SEMINARIO

VERSIÓN: 2.0

PÁGINA 59

DE 81

en un clima frío y húmedo, con pendientes entre 0.48° y 1.17°, lo que sugiere un relieve estable en general, pero con tendencia a escorrentías más rápidas en las áreas con mayor inclinación. Este cruce de información evidencia cómo la topografía, medida en grados de pendiente, junto con el clima, influye directamente en la dinámica hídrica de la microcuenca del río Jordán

Figura 21. Puntos de localización del vuelo #1



Fuente: Autores (2025).

En esta primera imagen se observan los puntos de control levantados en un sector agrícola atravesado por la vía principal que comunica la vereda. Esta localización fue fundamental para el registro de información, ya que se encuentra en la parte baja de la microcuenca, donde confluyen los primeros drenajes provenientes de las laderas y se combinan con las actividades agropecuarias que predominan en la zona. Durante el vuelo con dron en este sector, se logró obtener una ortofoto de alta resolución que permitió identificar con claridad la fragmentación del terreno por el uso agrícola y su cercanía a los cauces. Estos insumos fueron clave para analizar cómo las prácticas de cultivo inciden sobre la dinámica hídrica y el riesgo de afectación en la calidad del agua que circula hacia los tramos medios de la cuenca



UTS Uniciades Decembringing de Santand

F-DC-125

INFORME FINAL DE TRABAJO DE GRADO EN MODALIDAD DE PROYECTO DE INVESTIGACIÓN, DESARROLLO TECNOLÓGICO, MONOGRAFÍA, EMPRENDIMIENTO Y SEMINARIO

PÁGINA 60 DE 81

VERSIÓN: 2.0



Figura 22. Ortofoto Del Vuelo #1 *Fuente:* Autores (2025).

Esta ortofoto corresponde al primer vuelo realizado en la vereda Ucata, y fue posible gracias a una salida a campo bajo condiciones climáticas exigentes, en la que se recorrió el terreno para establecer puntos de control GNSS estratégicos. Cada uno





INFORME FINAL DE TRABAJO DE GRADO EN MODALIDAD DE PROYECTO DE INVESTIGACIÓN, DESARROLLO TECNOLÓGICO, MONOGRAFÍA, EMPRENDIMIENTO Y SEMINARIO

VERSIÓN: 2.0

PÁGINA 61

DE 81

de estos puntos fue ubicado con rigor técnico, considerando la morfología del terreno, la visibilidad del dron y la necesidad de garantizar una ortorrectificación precisa.

En la imagen se observa el cauce principal de la microcuenca, cuerpos de agua dispersos y zonas de vegetación baja, lo que permite identificar patrones de escorrentía y acumulación superficial. La ortofoto no solo representa un producto técnico, sino también el resultado de una jornada de observación directa, donde cada coordenada levantada en campo se traduce en una imagen que ahora puede ser interpretada para comprender la dinámica hídrica y geomorfológica del sistema. Esta primera salida marcó el inicio del proceso de validación espacial, y la ortofoto generada a partir del Vuelo 1 se convierte en una base sólida para contrastar datos, delimitar áreas de interés y construir los modelos que darán sustento técnico al informe final.

Para la toma se tuvo en cuenta el levantamiento de dos puntos de control los cuales registraron las siguientes coordenadas:

- Pc 2 piedra parada 1129407.02 1282280.81 3343.917
- Base piedra parada 1129283.18 1282145.48 3345.182





INFORME FINAL DE TRABAJO DE GRADO EN MODALIDAD DE PROYECTO DE INVESTIGACIÓN, DESARROLLO TECNOLÓGICO, MONOGRAFÍA, EMPRENDIMIENTO Y SEMINARIO

VERSIÓN: 2.0

PÁGINA 62

DE 81

Figura 23. Puntos de localización del vuelo #2



Fuente: Autores (2025).

En la segunda imagen se aprecia un sector estratégico de la microcuenca donde se encuentra una pequeña represa de almacenamiento, cuya función es regular el flujo superficial que desciende desde las zonas altas del páramo. Muy cerca se ubica la estación meteorológica del IDEAM, que juega un papel clave en el monitoreo climático, registrando variables como temperatura, precipitación, humedad y velocidad del viento, fundamentales para validar los modelos de escorrentía y acumulación de flujo.

Durante este mismo recorrido se tomaron y pisaron coordenadas GNSS de dos mojones con equipo RTK, garantizando una alta precisión para el proceso de ortorrectificación de las imágenes. Las coordenadas levantadas fueron:

- Mojón 1: 1286513.4130 E, 1133598.5540 N, 3312.378 m s.n.m.
- Mojón 2: 1286441.4480 E, 1133697.3300 N, 3310.550 m s.n.m.

Estos puntos de referencia no solo aportaron exactitud técnica al levantamiento, sino que también fortalecen el análisis espacial al vincular la infraestructura



PÁGINA 63 DE 81

F-DC-125

INFORME FINAL DE TRABAJO DE GRADO EN MODALIDAD DE PROYECTO DE INVESTIGACIÓN, DESARROLLO TECNOLÓGICO, MONOGRAFÍA, EMPRENDIMIENTO Y SEMINARIO

VERSIÓN: 2.0

existente con los elementos naturales de la cuenca. El hecho de haber logrado estas mediciones en condiciones de alta montaña, con fuertes ráfagas de viento y densa neblina, demuestra la rigurosidad del trabajo de campo y el compromiso con la caracterización integral del sistema hídrico de la vereda Ucatá.





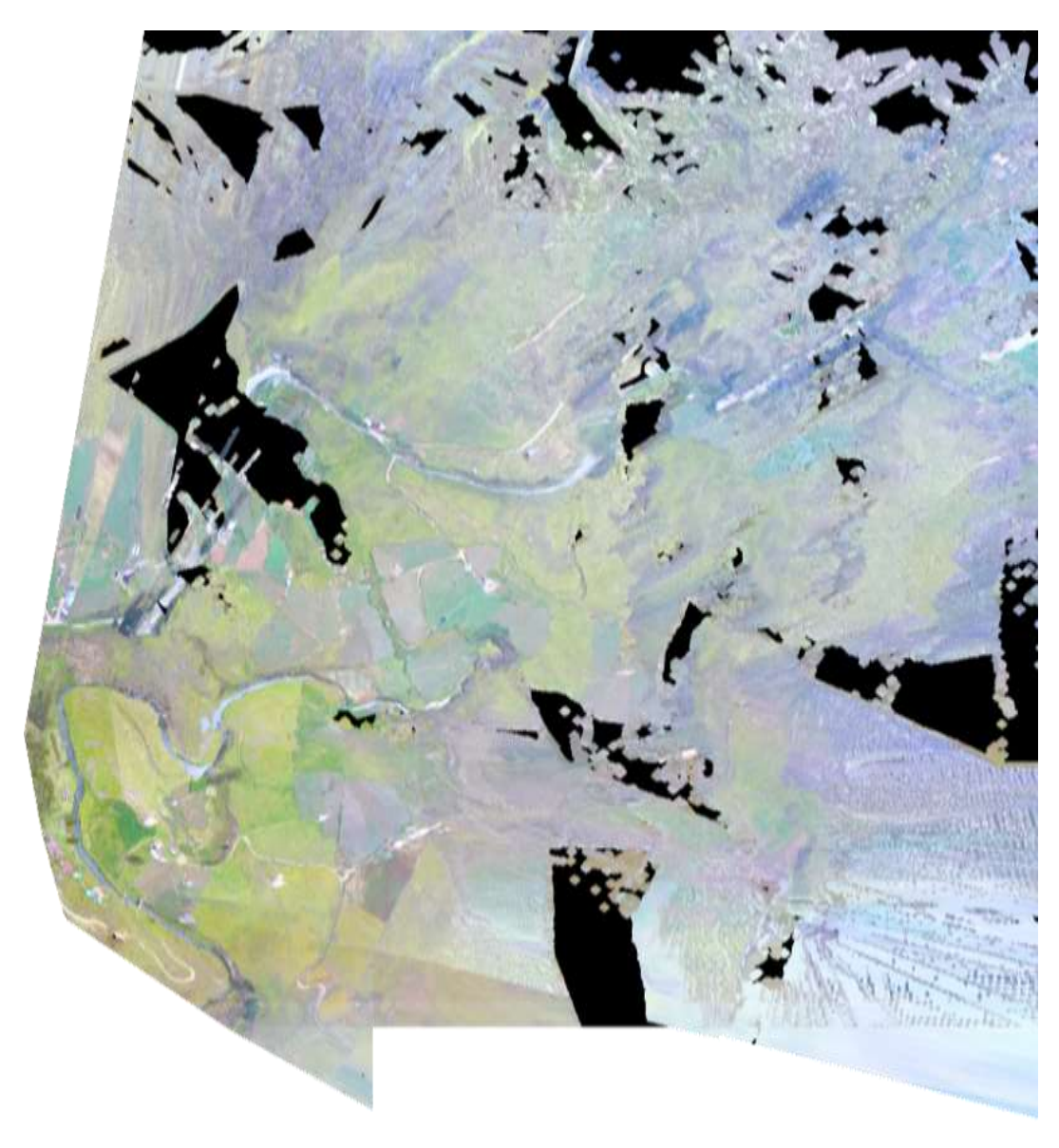
INFORME FINAL DE TRABAJO DE GRADO EN MODALIDAD DE PROYECTO DE INVESTIGACIÓN, DESARROLLO TECNOLÓGICO, MONOGRAFÍA, EMPRENDIMIENTO Y SEMINARIO

VERSIÓN: 2.0

PÁGINA 64

DE 81

Figura 24. Ortofoto Del Vuelo #2



Fuente: Autores (2025).

Esta ortofoto no solo aporta información técnica para el análisis espacial, sino que también da cuenta de lo que implica trabajar en terreno: enfrentar ráfagas de viento que desafían la estabilidad del dron, tomar decisiones rápidas y mantener el





INFORME FINAL DE TRABAJO DE GRADO EN MODALIDAD DE PROYECTO DE INVESTIGACIÓN, DESARROLLO TECNOLÓGICO, MONOGRAFÍA, EMPRENDIMIENTO Y SEMINARIO

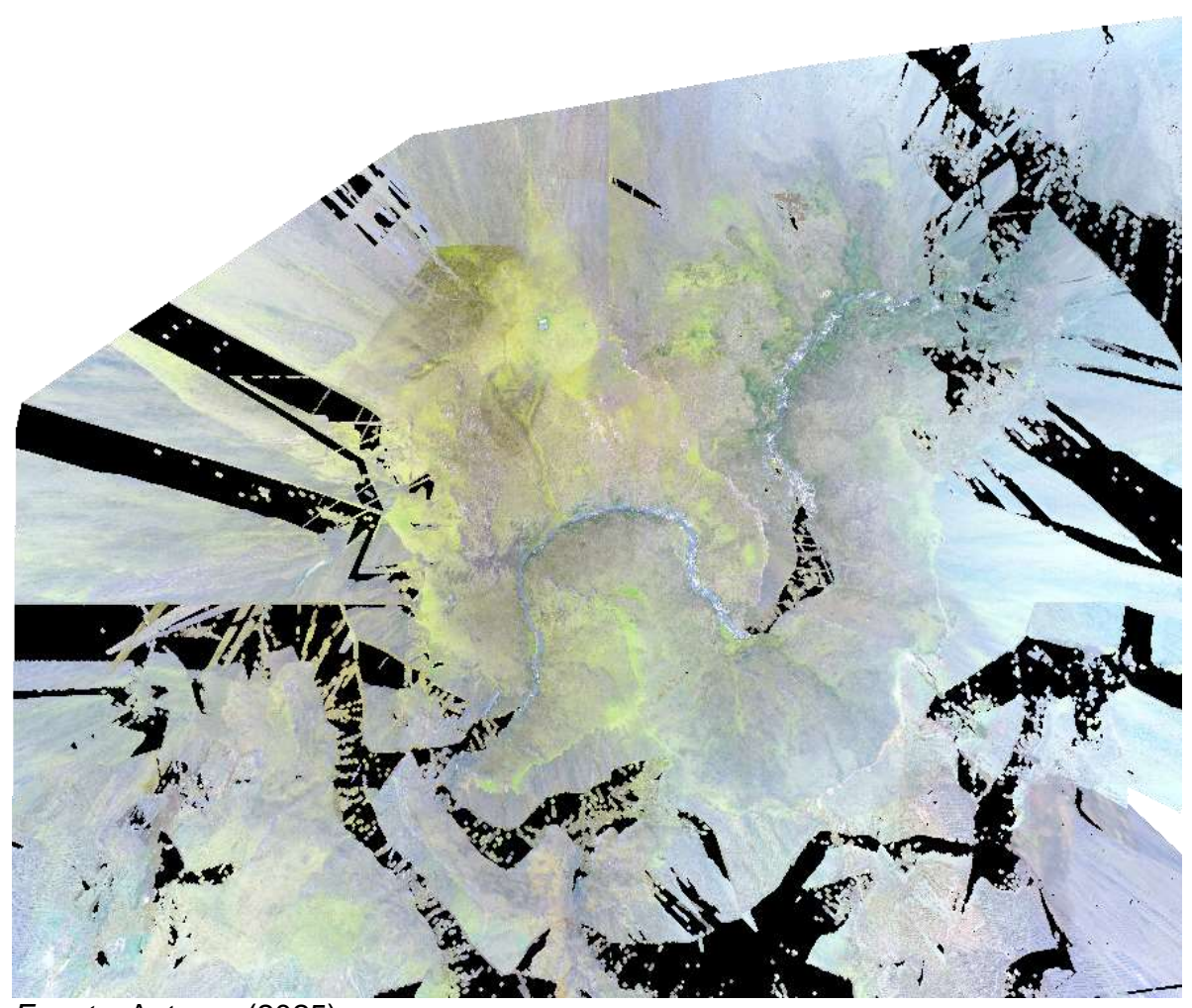
VERSIÓN: 2.0

PÁGINA 65

DE 81

enfoque en medio de condiciones cambiantes. Cada imagen capturada en el Vuelo 2 es el resultado de ese esfuerzo, y ahora se convierte en una fuente de datos que permite interpretar con mayor profundidad la dinámica hídrica y geomorfológica de la microcuenca.

Figura 25. Ortofoto Del Vuelo #3



Fuente: Autores (2025).

Con la ortofoto del Vuelo 3 se completa el recorrido aéreo planificado para la microcuenca en la vereda Ucata. Cada vuelo desde el primero, marcado por la





INFORME FINAL DE TRABAJO DE GRADO EN MODALIDAD DE PROYECTO DE INVESTIGACIÓN, DESARROLLO TECNOLÓGICO, MONOGRAFÍA, EMPRENDIMIENTO Y SEMINARIO

VERSIÓN: 2.0

PÁGINA 66

DE 81

exploración inicial del cauce y los fuertes corrientes de aire que se pronunciaban a medida que ascendíamos los msnm, requerían fuertes exigencias para la precisión de ortofotos y la estabilidad del equipo. El segundo, enfrentando ráfagas de viento que exigieron precisión operativa; hasta el tercero, que consolidó la cobertura en zonas de transición topográfica aportó una mirada distinta del territorio.

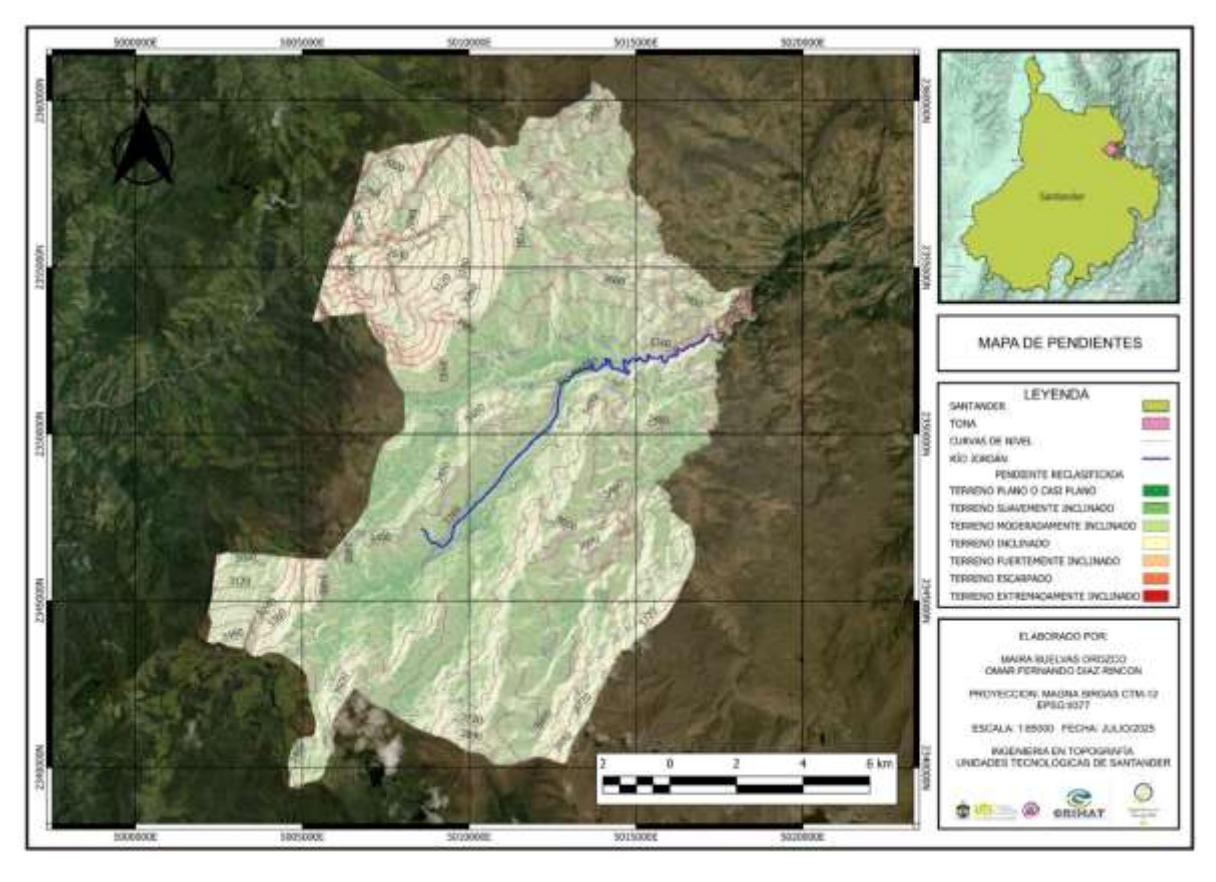
Pero más allá de las imágenes, lo que se construyó fue una lectura profunda del paisaje, una forma de entender cómo el agua se mueve, se acumula y transforma el relieve en un ecosistema de alta montaña. Cada ortofoto fue posible gracias a la presencia directa en campo, al levantamiento de puntos GNSS bajo condiciones climáticas cambiantes, y a la capacidad de adaptar la tecnología a lo que el terreno exigía.

Este conjunto de vuelos no solo cumple una función técnica dentro del proyecto: representa el vínculo entre observación, experiencia y análisis. Es el insumo que ahora alimenta los modelos SIG, pero también el testimonio de un proceso que se vivió paso a paso, desde el suelo y desde el aire.

F-DC-125 INFORME FINAL DE TRABAJO DE GRADO EN MODALIDAD DE PROYECTO DE INVESTIGACIÓN, DESARROLLO TECNOLÓGICO, MONOGRAFÍA, EMPRENDIMIENTO Y SEMINARIO

PÁGINA 67 DE 81 VERSIÓN: 2.0

Figura 26. Mapa de pendientes



Fuente: Autores (2025).

Con base en la cartografía existente y en los drenajes simplificados proporcionados por el Instituto Geográfico Agustín Codazzi (IGAC), se construyó un modelo preliminar del flujo superficial en la microcuenca del río Jordán, ubicada en el páramo de Berlín. Para este análisis, los autores elaboraron un mapa de pendientes a partir de datos altimétricos, lo que permitió caracterizar la variabilidad topográfica de la zona y entender su influencia en la dinámica hídrica.

El análisis morfométrico evidenció una marcada heterogeneidad en el relieve, con predominancia de pendientes moderadas a fuertes, las cuales favorecen una

UTS Unitades Lechningion de Santande

F-DC-125

INFORME FINAL DE TRABAJO DE GRADO EN MODALIDAD DE PROYECTO DE INVESTIGACIÓN, DESARROLLO TECNOLÓGICO, MONOGRAFÍA, EMPRENDIMIENTO Y SEMINARIO

VERSIÓN: 2.0

PÁGINA 68

DE 81

escorrentía superficial acelerada y reducen la capacidad de infiltración en muchas

áreas. Estas condiciones intensifican los procesos erosivos y afectan la estabilidad

de los suelos, especialmente en sectores intervenidos por actividades humanas o

dominados por coberturas vegetales como los pastizales.

Por otro lado, las zonas de menor pendiente y topografía más suave se identificaron

como áreas clave para la acumulación y recarga de agua, cumpliendo un rol

fundamental en el equilibrio hídrico del sistema. En conjunto, los resultados

obtenidos permiten confirmar que la pendiente es un factor determinante en la

dinámica geomorfológica e hidrológica de la microcuenca. La combinación del

modelo de flujo, los datos geoespaciales disponibles y los drenajes simplificados del

IGAC ofrece una base sólida para la gestión integral de los recursos hídricos en este

ecosistema de alta montaña.

MODELO DE FLUJOS DE AGUA SUPERFICIAL EN ZONA DE PÁRAMO DEL

MUNICIPIO DE TONA- PÁRAMO DE BERLÍN A TRAVÉS DE UN DEM

El modelo se realiza a través de un DEM descargado de Alos Palsar a 12,5 m de

resolución espacial y se extrae la zona de estudio que corresponde al área de

páramo en el municipio de Tona, Santander. El modelo se obtiene a través de

Arcmap 10.8, mediante la herramienta de Model Builder, dando el paso a paso,

construyendo así un orden de programación usando Spatial Analyst Tools,

Hidrology. Al finalizar la descripción de tareas en orden y enlazar dichas tareas se

obtiene como resultado:

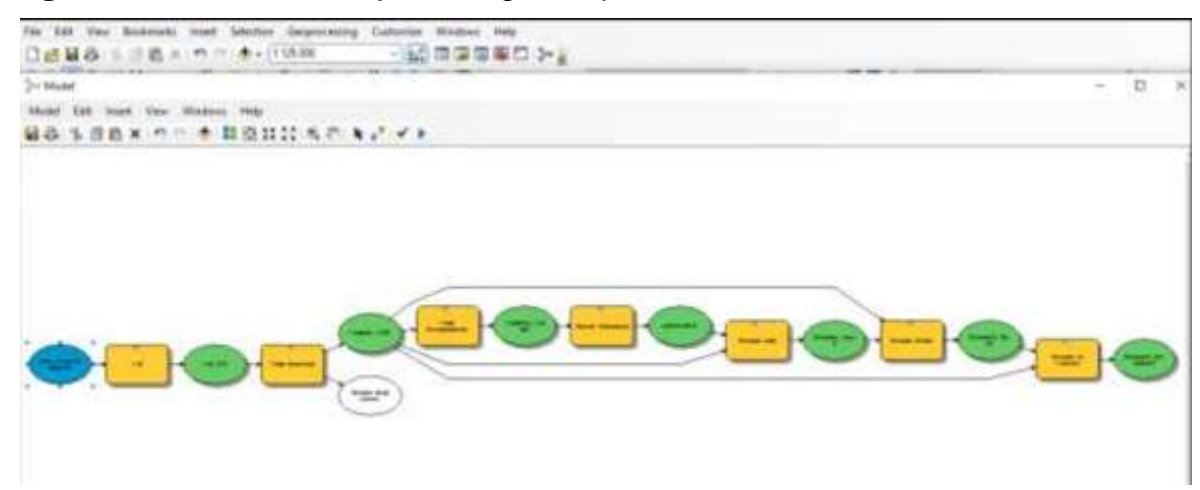
INFORME FINAL DE TRABAJO DE GRADO EN MODALIDAD DE PROYECTO DE INVESTIGACIÓN, DESARROLLO TECNOLÓGICO, MONOGRAFÍA, EMPRENDIMIENTO Y SEMINARIO

VERSIÓN: 2.0

PÁGINA 69

DE 81

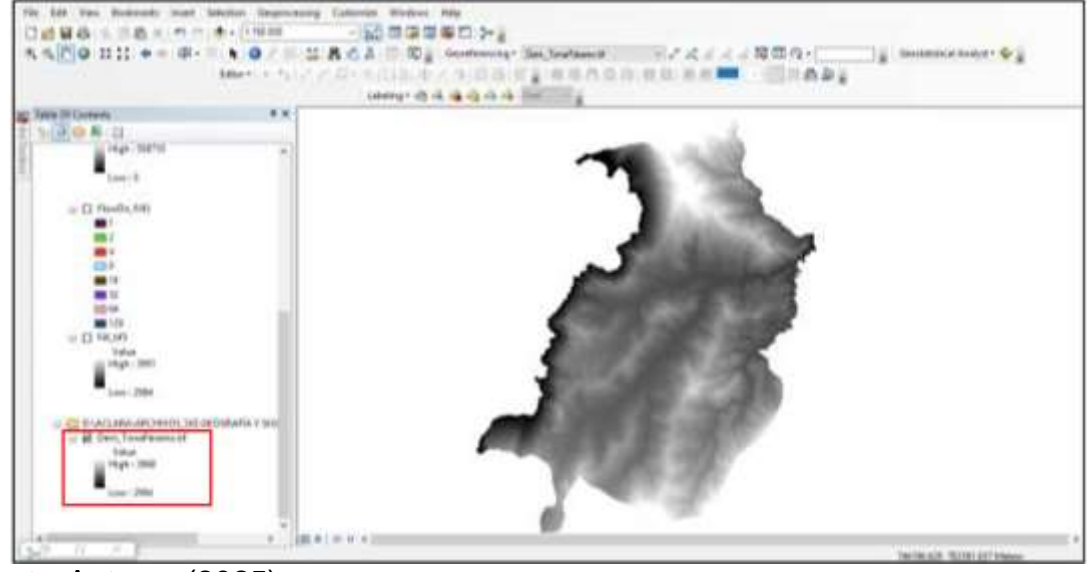
Figura 27. Modelo De Flujos De Agua Superficial A Través De Un Dem



Fuente: Autores (2025).

Este orden permite obtener diferentes capas ráster, al final se vectoriza, para poder generar el modelo final de flujos de agua. A continuación, se muestran los resultados de cada paso: En primer lugar, se carga el DEM, para el caso un DEM de Alos Palsar a 12,5 m de resolución espacial, este se extrajo para la zona de estudio: zona páramo del municipio de Tona, que corresponde en gran parte al Páramo de Berlín.

Figura 28. DEM de Alos Palsar a 12,5 m de resolución espacial



Fuente: Autores (2025).





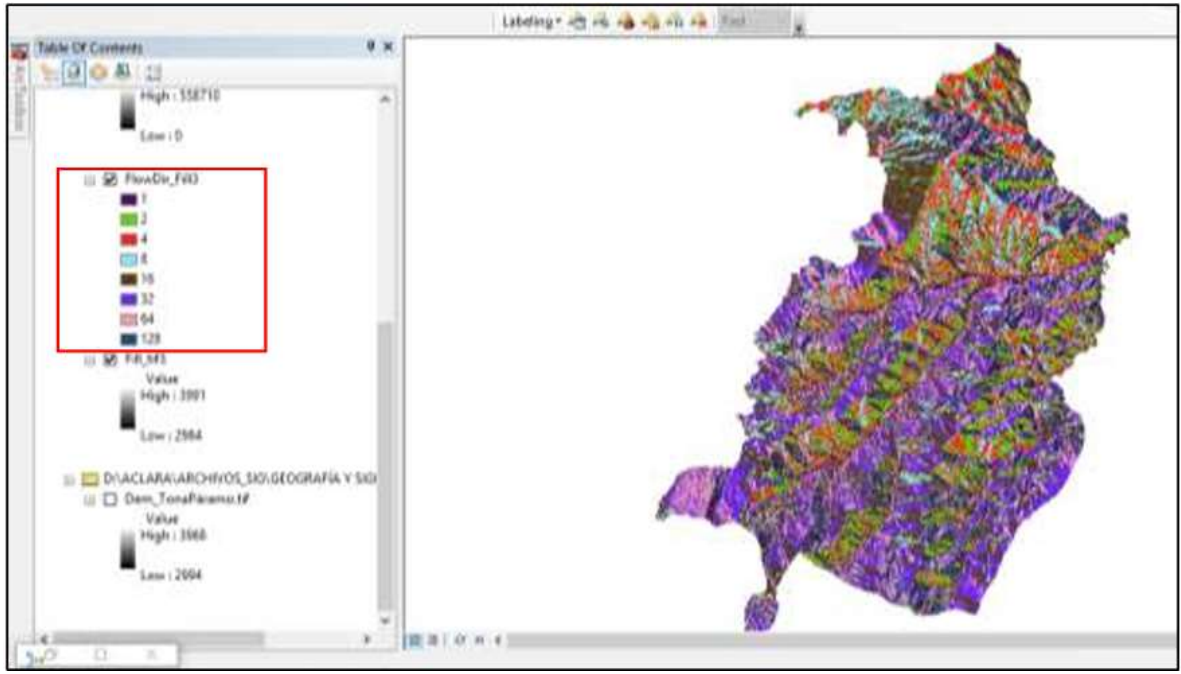
INFORME FINAL DE TRABAJO DE GRADO EN MODALIDAD DE PROYECTO DE INVESTIGACIÓN, DESARROLLO TECNOLÓGICO, MONOGRAFÍA, EMPRENDIMIENTO Y SEMINARIO

VERSIÓN: 2.0

PÁGINA 70

DE 81

Figura 29. Toma de Gota de Aguan en el Terreno



Fuente: Autores (2025).

Ahora con las herramientas en Spatial Analyst Tools, Hidrology se va generando el paso a paso para la construcción del modelo. Una vez hecha la corrección anterior, se trabaja Flow direction, lo cual permitirá conocer la dirección de una gota de agua, donde se obtiene.





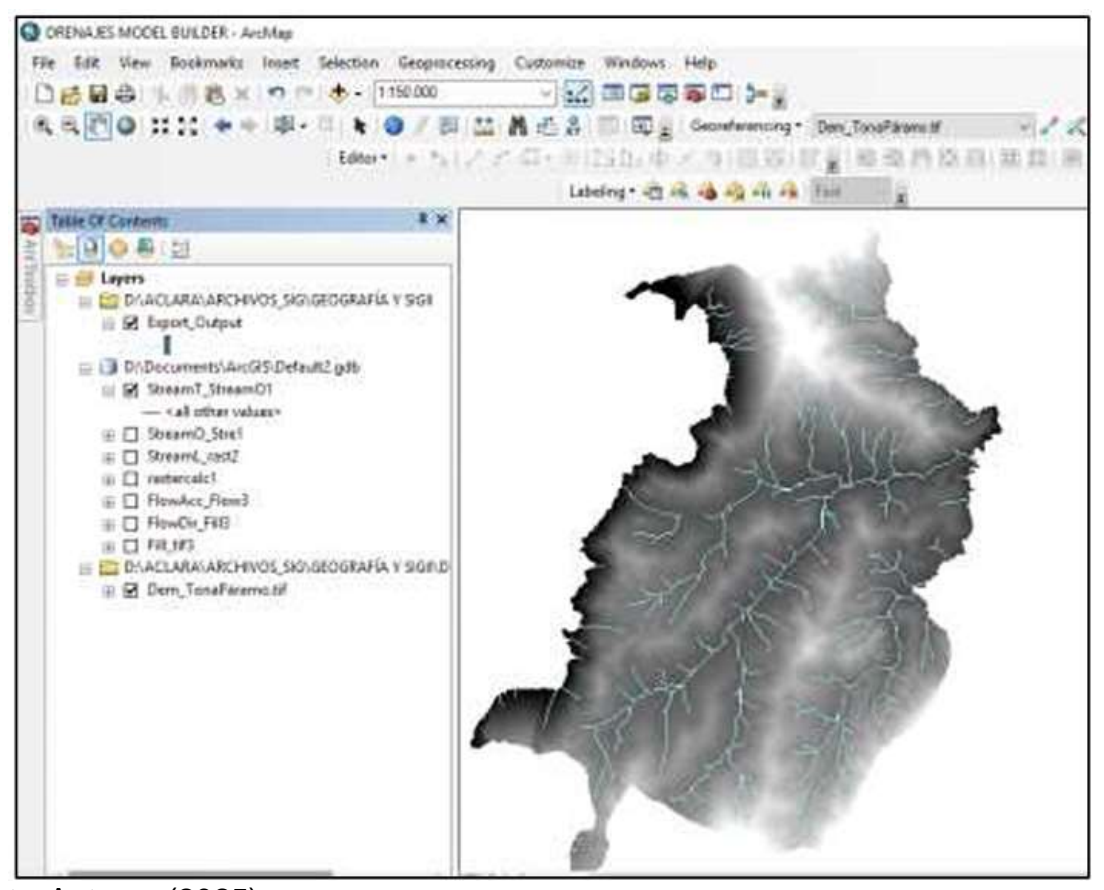
INFORME FINAL DE TRABAJO DE GRADO EN MODALIDAD DE PROYECTO DE INVESTIGACIÓN, DESARROLLO TECNOLÓGICO, MONOGRAFÍA, EMPRENDIMIENTO Y SEMINARIO

VERSIÓN: 2.0

PÁGINA 71

DE 81

Figura 30. Modelo Ráster a Vectorial



Fuente: Autores (2025).

Finalmente, hay que convertir el formato ráster en vectorial para poder apreciar los drenajes como líneas y poder generar el modelo final. De esta manera se aprecian las sub zonas hidrográficas con todos los drenajes sencillos. Modelo a partir de un DEM con Model Builder en Arc Map 10.8.





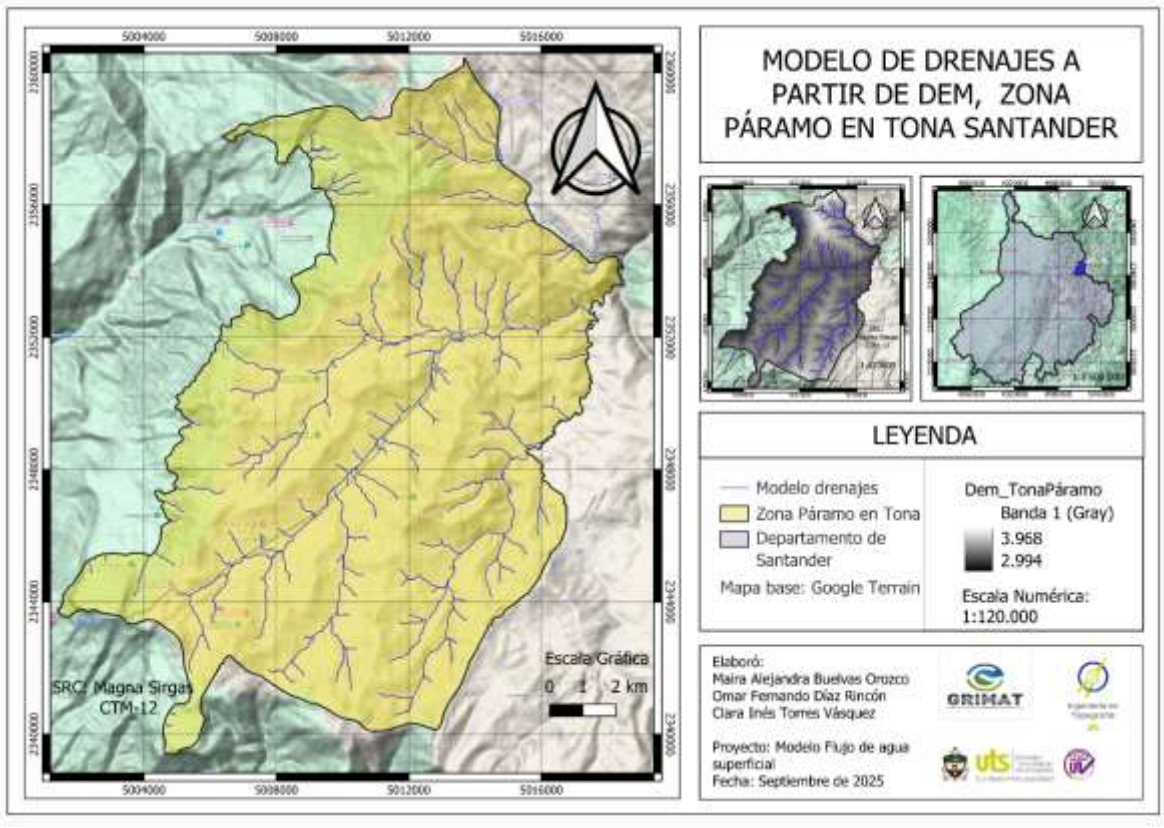
INFORME FINAL DE TRABAJO DE GRADO EN MODALIDAD DE PROYECTO DE INVESTIGACIÓN, DESARROLLO TECNOLÓGICO, MONOGRAFÍA, EMPRENDIMIENTO Y SEMINARIO

VERSIÓN: 2.0

PÁGINA 72

DE 81

Figura 31. Salida Grafica composición Final



Fuente: Autores (2025).

En el análisis del modelo de drenajes se integraron tres fuentes complementarias: el DEM ALOS PALSAR (resolución 12,5 m), el mapa de pendientes construido con información del IGAC y la ortofoto levantada en el vuelo 1. El DEM permitió extraer de forma continua la red de drenaje y las líneas de flujo sobre toda la extensión de la microcuenca, posibilitando una visión regional del comportamiento hidrológico. El mapa de pendientes (IGAC) aportó información morfométrica más generalizada, evidenciando la presencia de tramos con pendientes moderadas a fuertes en las cabeceras y laderas, zonas que favorecen escorrentía rápida y procesos erosivos; en contraste, las áreas de pendiente reducida se identifican claramente como sectores de acumulación y recarga hídrica. Esta relación pendiente—drenaje confirma la importancia de la topografía en la génesis y concentración de los cauces.





INFORME FINAL DE TRABAJO DE GRADO EN MODALIDAD DE PROYECTO DE INVESTIGACIÓN, DESARROLLO TECNOLÓGICO, MONOGRAFÍA, EMPRENDIMIENTO Y SEMINARIO

VERSIÓN: 2.0

PÁGINA 73

DE 81

La ortofoto del Vuelo 1, producto de nuestro trabajo de campo y ortorrectificado con los puntos GNSS levantados, funcionó como validación a escala: en ella se observaron meandros abandonados, encharcamientos puntuales y trazos de cauce que no siempre son visibles en los productos satelitales de menor resolución. La ortofoto permitió corroborar desplazamientos recientes del cauce y detectar alteraciones antrópicas (áreas de cultivo y pastoreo) que modifican la dinámica superficial del agua.

Como ejemplo concreto de la interpretación integrada, en un tramo del cauce se registró una diferencia de altura de 3 m sobre una distancia horizontal de 652.84 m, lo que corresponde a una pendiente aproximada de 0,46 % (≈ 0,26°). Este valor indica un canal de muy baja inclinación, condición típica de sectores de páramo donde la retención y saturación del suelo favorecen la formación de humedales y la existencia de meandros o zonas de encharcamiento; por tanto, la combinación DEM−ortofoto permite distinguir con certidumbre estos procesos.

En síntesis, la convergencia de los tres productos (DEM ALOS PALSAR, mapa de pendientes IGAC y ortofoto de vuelo) ofrece una caracterización robusta de la microcuenca: el DEM delimita y modela la red de drenaje; el mapa de pendientes explica los potenciales de escorrentía y erosión; y la ortofoto valida, a escala local, cambios morfológicos reales (meandros abandonados y modificaciones por uso del suelo). La integración de escalas y métodos (satélite, cartografía oficial y trabajo de campo) es por tanto indispensable para una interpretación fiel de la dinámica hídrica en la vereda Ucatá.



F-DC-125

INFORME FINAL DE TRABAJO DE GRADO EN MODALIDAD DE PROYECTO DE INVESTIGACIÓN, DESARROLLO TECNOLÓGICO, MONOGRAFÍA, EMPRENDIMIENTO Y SEMINARIO

VERSIÓN: 2.0

PÁGINA 74

DE 81

6. CONCLUSIONES

El desarrollo del presente trabajo permitió caracterizar de manera integral la microcuenca del río Jordán en la vereda Ucatá, páramo de Berlín, a partir de la integración de información de campo, vuelos fotogramétricos con dron, modelos digitales de elevación y registros climatológicos. Los resultados evidencian que la dinámica hídrica está fuertemente controlada por la topografía, la cobertura vegetal y la estacionalidad climática.

Se determinó que las áreas con pendientes suaves y climas extremadamente fríos y húmedos funcionan como zonas de recarga y acumulación, favoreciendo la presencia de nacimientos y humedales. Por el contrario, en sectores con pendientes moderadas a fuertes y con coberturas intervenidas, la escorrentía se intensifica, aumentando el riesgo de erosión y afectando la calidad del recurso hídrico.

La incorporación de infraestructura existente, como la represa y la estación meteorológica del IDEAM, junto con la medición de mojones con GNSS de alta precisión, fortaleció la validación de los productos cartográficos y mejoró la confiabilidad del análisis espacial. A su vez, los vuelos con dron generaron ortofotos de alta resolución que permitieron identificar coberturas, usos del suelo y condiciones de presión antrópica, aunque fue necesario reconocer las limitaciones impuestas por las condiciones de viento y neblina propias del páramo.

En conjunto, el trabajo confirma que el páramo de Berlín cumple una función esencial como regulador hídrico, gracias a la interacción entre clima, cobertura vegetal y morfometría. La integración metodológica empleada constituye una herramienta sólida para la gestión y conservación de las microcuencas de alta montaña.

En el desarrollo cartográfico de la zona de estudio, ubicada en la vereda de Ucatá sobre el río Jordán, se evidencia el modelo de drenajes obtenido a partir de un DEM con resolución espacial de 12.5 metros del sensor ALOS PALSAR. Este resultado





INFORME FINAL DE TRABAJO DE GRADO EN MODALIDAD DE PROYECTO DE INVESTIGACIÓN, DESARROLLO TECNOLÓGICO, MONOGRAFÍA, EMPRENDIMIENTO Y SEMINARIO

VERSIÓN: 2.0

PÁGINA 75

DE 81

se comparó con el mapa de pendientes generado con información del IGAC y con la ortofoto obtenida en campo mediante el vuelo de dron en el primer levantamiento, lo que permitió contrastar tres niveles de detalle: el modelado digital, la cartografía oficial y la validación directa en terreno.

Al analizar el cauce principal, se identificó una diferencia de altura de 3 metros en un tramo con distancia horizontal de 652.84 metros, lo que representa una pendiente del 0,46 %. Este valor confirma que el río presenta un flujo con baja inclinación, propio de las condiciones de los páramos, donde la acumulación de agua favorece procesos de saturación y encharcamiento en zonas planas. La comparación entre la pendiente suavizada del DEM, el mayor nivel de detalle de la ortofoto y la cartografía del IGAC, permite establecer una visión integral de cómo la topografía condiciona el movimiento del agua en la microcuenca, resaltando la importancia de combinar fuentes de información satelital, oficial e in situ para una caracterización más precisa del territorio.



F-DC-125

INFORME FINAL DE TRABAJO DE GRADO EN MODALIDAD DE PROYECTO DE INVESTIGACIÓN, DESARROLLO TECNOLÓGICO, MONOGRAFÍA, EMPRENDIMIENTO Y SEMINARIO

VERSIÓN: 2.0

PÁGINA 76

DE 81

7. RECOMENDACIONES

- Mantener un monitoreo climático e hidrológico constante, aprovechando la estación del IDEAM y complementándolo con mediciones locales de precipitación y caudales.
- Establecer y conservar franjas de protección ribereña en las zonas agrícolas cercanas a los cauces, con el fin de reducir la erosión y proteger la calidad del agua.
- Implementar prácticas de manejo en las pendientes más críticas, como terrazas, zanjas de infiltración y revegetalización con especies nativas, para disminuir la escorrentía y los procesos erosivos.
- Mejorar la planificación de vuelos con dron considerando la estacionalidad climática del páramo: programar vuelos en horas de menor nubosidad, ajustar la altura para compensar la neblina y reforzar la estabilidad mediante patrones de vuelo más cerrados que aumenten el solape de imágenes.
- Incorporar sensores y equipos adecuados para condiciones de alta montaña, como cámaras multiespectrales con filtros de niebla y drones con mayor resistencia al viento, lo que garantizaría productos fotogramétricos de mejor calidad en escenarios de nubosidad y ráfagas.
- Establecer protocolos de seguridad y redundancia durante los vuelos: uso de estaciones base portátiles para mejorar la precisión GNSS, repetición de vuelos en sectores con fallas de cobertura por condiciones climáticas y almacenamiento de registros de cada sesión para asegurar trazabilidad.
- Utilizar los mojones levantados con GNSS como puntos de referencia permanentes para futuras campañas y procesos de ortorrectificación, fortaleciendo la calidad de los productos generados en nuevas misiones aéreas.



F-DC-125

INFORME FINAL DE TRABAJO DE GRADO EN MODALIDAD DE PROYECTO DE INVESTIGACIÓN, DESARROLLO TECNOLÓGICO, MONOGRAFÍA, EMPRENDIMIENTO Y SEMINARIO

VERSIÓN: 2.0

PÁGINA 77

DE 81

- Avanzar en la implementación de modelos hidrológicos de precipitación escorrentía, calibrados con la información obtenida, para simular escenarios de variabilidad climática y de uso del suelo.
- Diseñar estrategias de conservación específicas para frailejonales, pajonales y humedales, priorizando su protección frente a la expansión agrícola.
- Involucrar activamente a la comunidad de la vereda Ucatá en procesos de educación ambiental y gestión del recurso hídrico, fortaleciendo la apropiación social de la conservación del páramo.



F-DC-125

INFORME FINAL DE TRABAJO DE GRADO EN MODALIDAD DE PROYECTO DE INVESTIGACIÓN, DESARROLLO TECNOLÓGICO, MONOGRAFÍA, EMPRENDIMIENTO Y SEMINARIO

VERSIÓN: 2.0

PÁGINA 78

DE 81

8. REFERENCIAS BIBLIOGRÁFICAS

Alcaldía Municipal de Tona. (2003). Esquema de ordenamiento territorial del municipio de Tona (EOT). Corporación Autónoma Regional para la Defensa de la Meseta de Bucaramanga – CDMB.

Álvarez, M. (2021). *Modelación del comportamiento hidrológico y de la oferta hídrica de la quebrada Santa Elena en el corregimiento de Santa Elena, Medellín* [Tesis de pregrado, Universidad de Antioquia]. Repositorio Institucional Universidad de Antioquia. https://bibliotecadigital.udea.edu.co/handle/10495/18403

Burrough, P. A., & McDonnell, R. A. (1998). *Principles of geographical information systems*. Oxford University Press.

Buytaert, W., Célleri, R., De Bièvre, B., Cisneros, F., Wyseure, G., Deckers, J., ... & Hofstede, R. (2006). *Human impact on the hydrology of the Andean páramos*. Earth-Science Reviews, 79(1–2), 53–72. https://doi.org/10.1016/j.earscirev.2006.06.002

CAR – Corporación Autónoma Regional. (2020). *Informe de gestión hídrica regional.* CAR.

Célleri, R., & Feyen, J. (2009). *The hydrology of tropical Andean ecosystems: Importance, knowledge status, and perspectives.* Mountain Research and Development, 29(4), 350–355. https://doi.org/10.1659/mrd.00007

Chow, V. T., Maidment, D. R., & Mays, L. W. (1994). *Applied hydrology.* McGraw-Hill.

UTS Unidades Techningia de Santancie

F-DC-125

INFORME FINAL DE TRABAJO DE GRADO EN MODALIDAD DE PROYECTO DE INVESTIGACIÓN, DESARROLLO TECNOLÓGICO, MONOGRAFÍA, EMPRENDIMIENTO Y SEMINARIO

VERSIÓN: 2.0

PÁGINA 79

DE 81

Congreso de la República de Colombia. (2018). Ley 1930 de 2018. Por la cual se establecen disposiciones para la gestión integral de los páramos en Colombia.

Diario Oficial No. 50.666.

https://www.funcionpublica.gov.co/eva/gestornormativo/norma.php?i=88297

Corporación Autónoma Regional de la Frontera Nororiental – Corponor. (2008). *Plan de manejo ambiental del Distrito de Manejo Integrado Páramo de Berlín.* https://corponor.gov.co

García, M., López, J., & Suárez, P. (2021). *Procesos erosivos y escorrentía en ecosistemas de páramo*. Universidad Nacional de Colombia.

IDEAM. (2017). Estudios hidrológicos en ecosistemas de páramo: Informe técnico nacional. Instituto de Hidrología, Meteorología y Estudios Ambientales.

IDEAM. (2018). Caracterización hidrográfica de alta montaña. Instituto de Hidrología, Meteorología y Estudios Ambientales.

IDEAM. (2022). Datos históricos de precipitación y temperatura – Estación Berlín. Instituto de Hidrología, Meteorología y Estudios Ambientales.

IDEAM. (2024). Estudios climatológicos e hidrológicos de alta montaña en Santander. Ministerio de Ambiente y Desarrollo Sostenible.

IDEAM, Ministerio de Ambiente y Desarrollo Sostenible, & Organización de las Naciones Unidas para la Alimentación y la Agricultura (FAO). (2013). *Guía técnica para la formulación del plan de ordenación y manejo de cuencas hidrográficas – POMCA*. IDEAM.



F-DC-125

INFORME FINAL DE TRABAJO DE GRADO EN MODALIDAD DE PROYECTO DE INVESTIGACIÓN, DESARROLLO TECNOLÓGICO, MONOGRAFÍA, EMPRENDIMIENTO Y SEMINARIO

VERSIÓN: 2.0

PÁGINA 80

DE 81

IGAC. (2020). Cartografía básica y estudios territoriales: Región Andina. Instituto Geográfico Agustín Codazzi.

Li, Z., Zhu, Q., & Gold, C. (2005). *Digital terrain modeling: Principles and methodology*. CRC Press.

Maidment, D. R. (2002). Arc Hydro: GIS for water resources. ESRI Press.

MADS – Ministerio de Ambiente y Desarrollo Sostenible. (2020). *Política nacional para la gestión integral del recurso hídrico.* Ministerio de Ambiente y Desarrollo Sostenible.

Mesa Sánchez, O. J. (2006). *Hidrología superficial*. Universidad Nacional de Colombia.

Morales, J. (2017). Impacto de las heladas en la vegetación altoandina. *Revista de Ecología Andina, 12*(3), 55–68.

Morales, Y., Cárdenas, A., & Suárez, M. (2013). *Análisis de flujos superficiales en el páramo de Santurbán.* Universidad Industrial de Santander.

Mosquera, G. M., Lazo, P. X., Célleri, R., Wilcox, B. P., & Crespo, P. (2015). *Runoff from tropical alpine grasslands increases with areal extent of wetlands.* Catena, 125, 120–128. https://doi.org/10.1016/j.catena.2014.10.010

Poveda, G., Álvarez, D., & Rueda, O. (2019). *Variabilidad climática en ecosistemas de páramo de Colombia*. Universidad de Antioquia.





PÁGINA 81 **DE 81**

F-DC-125

INFORME FINAL DE TRABAJO DE GRADO EN MODALIDAD DE PROYECTO DE INVESTIGACIÓN, DESARROLLO TECNOLÓGICO, MONOGRAFÍA, **EMPRENDIMIENTO Y SEMINARIO**

VERSIÓN: 2.0

Rodríguez, A., & Carvajal, J. (2021). Erosión hídrica en zonas rurales de alta montaña. Revista Geográfica Colombiana, 28(2), 15–29.

Rodríguez, N., & Sarmiento, F. (2020). Aplicación de SIG y MDE en la caracterización de microcuencas de páramo. Universidad Nacional de Colombia.

Rojas, H., Pérez, L., & Duarte, F. (2018). Evaluación de daños por heladas en cultivos andinos. Corpoica.

Strahler, A. N. (1957). Quantitative analysis of watershed geomorphology. **Transactions** the American Geophysical Union. 38(6), 913-920. https://doi.org/10.1029/TR038i006p00913

Vázquez, J., Ramírez, P., & Cárdenas, H. (2022). Modelación hidrológica en microcuencas de páramo con integración de MDE y SIG. Revista Colombiana de Geografía, 31(2), 1–18.

Ward, R. C., & Robinson, M. (2000). *Principles of hydrology* (4th ed.). McGraw-Hill.